

Phase Transitions in the Supersymmetric Standard Models

佐賀大学理工学部

船久保 公一

於 東京工業大学宇宙物理学理論コロキウム

2007年2月16日

内容

Part I

- §1. Introduction
- §2. Sphaleron Process
- §3. Electroweak Baryogenesis

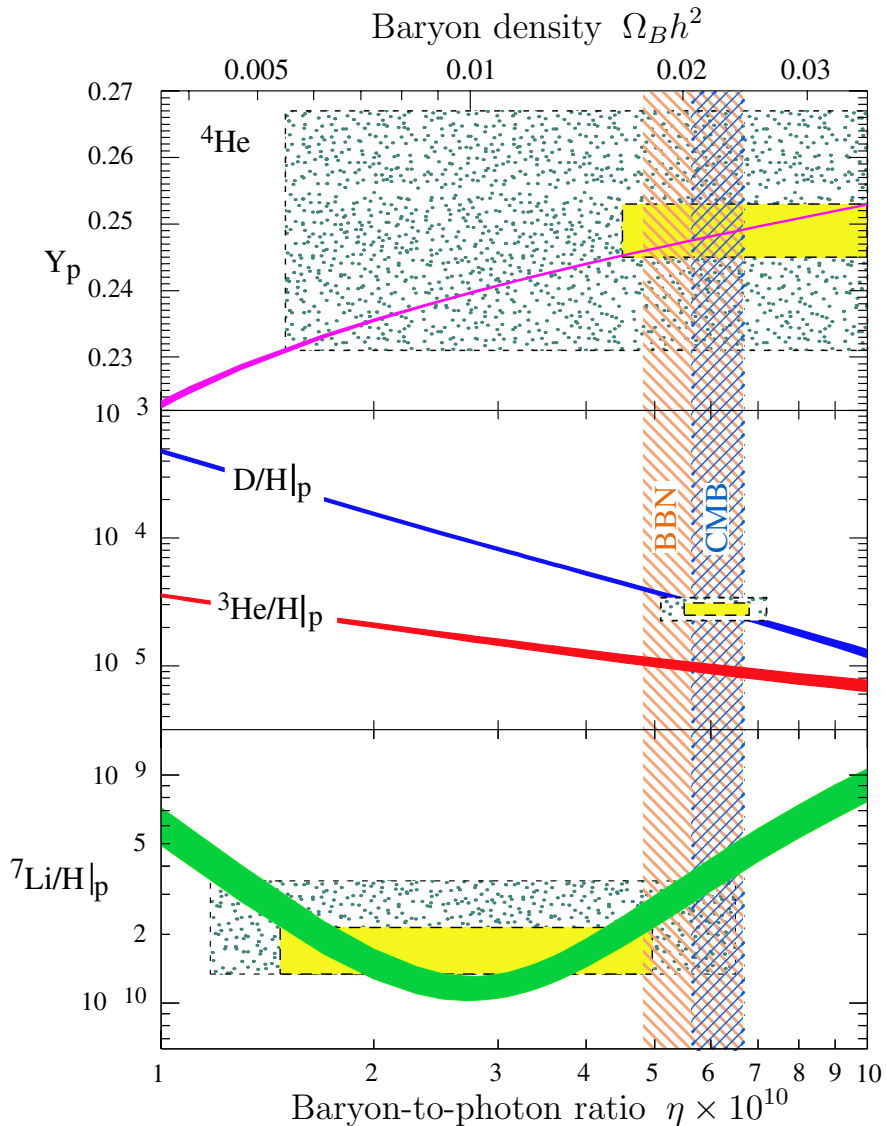
Part II

- §4. Higgs Sector in the MSSM and NMSSM
- §5. Phase Transitions
- §6. Summary

MSSM = Minimal Supersymmetric Standard Model

NMSSM = Next-to-Minimal Supersymmetric Standard Model
= MSSM + 1 singlet superfield

§1. Introduction



[PDG: W.-M. Yao et al., Journal of Physics G 33, 1 (2006)]

軽元素合成

$$\Rightarrow \eta \equiv \frac{n_B}{n_\gamma} = (4.7 - 6.5) \times 10^{-10} \quad (95\% \text{ CL})$$

CMBの揺らぎ (WMAP)

$$\Rightarrow \eta = (6.14 \pm 0.25) \times 10^{-10}$$

元素合成期までに

Baryon Asymmetry of the Universe

$$\frac{n_B}{s} = \frac{n_b - n_{\bar{b}}}{s} = (0.67 - 0.98) \times 10^{-10}$$

$$s = \frac{\pi^2}{45} g_* T^3 \simeq 7.04 n_\gamma$$

が必要

Baryon 対称な宇宙からバリオン数を生成する (Baryogenesis)

Sakharov の 3 条件

- (1) バリオン数非保存
- (2) C と CP 対称性の破れ
- (3) 平衡からのズレ

(1) は自明。

(3) が無いと、 $\Delta B \neq 0$ の過程と逆過程が同じ頻度で起こる。

(2) が成り立たないとする...

ρ_0 : $n_B = 0$ の宇宙を表す density operator (初期状態) $\langle n_B \rangle_0 \equiv \text{Tr} [\rho_0 n_B] = 0$

density operator $\rho(t)$ の時間発展は Liouville 方程式

$$i\hbar \frac{\partial \rho(t)}{\partial t} + [\rho(t), H] = 0$$

で決まる。形式解は H と初期条件 ρ_0 で書かれている。

$\Rightarrow H$ が C 対称または CP 対称 $\Rightarrow [\rho, C] = 0$ or $[\rho, CP] = 0$

$CBC^{-1} = -B$, $CPB(CP)^{-1} = -B$ (即ち、 B は vectorlike で、 C の下で odd)

$$\Rightarrow \left\{ \begin{array}{l} \langle n_B \rangle = \text{Tr}[\rho n_B] = \text{Tr}[\rho C n_B C^{-1}] = -\text{Tr}[\rho n_B] = 0 \\ \text{or} \\ \langle n_B \rangle = \text{Tr}[\rho CP n_B (CP)^{-1}] = -\text{Tr}[\rho n_B] = 0 \end{array} \right.$$

\therefore $\langle n_B \rangle \neq 0$ となるには、 C と CP の両方が破れなければならない。

Baryogenesisの可能性

- バリオン数非保存

{	explicit violation	GUTs
	spontaneous violation	$\langle \text{squark} \rangle \neq 0$
	chiral anomaly	sphaleron process

→ $T = 0$ では **proton decay** を起こさないように suppress されなければならない

- C violation \leftarrow chiral gauge interactions (EW, GUTs)

- CP violation

{	KM phase in the MSM
	beyond the SM — SUSY, extended Higgs sector

- 平衡からのズレ

{	宇宙の膨張	$\Gamma_{\Delta B \neq 0} \simeq H(T)$
	一次相転移	
	reheating (or preheating) after inflation	

minimal $SU(5)$ model:

$$\text{matter: } \begin{cases} \mathbf{5}^* : \psi_L^i & \ni d_R^c, l_L \\ \mathbf{10} : \chi_{[ij]L} & \ni q_L, u_R^c, e_R^c \end{cases} \quad \text{gauge: } A_\mu = \begin{pmatrix} G_\mu, B_\mu & X_\mu^{a\alpha} \\ X_\mu^{a\alpha} & W_\mu, B_\mu \end{pmatrix}$$

$$i = 1 - 5 \rightarrow (\alpha = 1 - 3, a = 1, 2)$$

$$\begin{aligned} \mathcal{L}_{\text{int}} &\ni g \bar{\psi} \gamma^\mu A_\mu \psi + g \text{Tr} [\bar{\chi} \gamma^\mu \{A_\mu, \chi\}] \\ &\ni g X_{\alpha\mu}^a [\varepsilon^{\alpha\beta\gamma} \bar{u}_{R\gamma}^c \gamma^\mu q_{L\beta a} + \epsilon_{ab} (\bar{q}_{Lb}^\alpha \gamma^\mu e_R^c + \bar{l}_{Lb} \gamma^\mu d_R^{c\alpha})] \end{aligned}$$

熱浴から生成された X - \bar{X} 対の崩壊での
バリオン数変化の期待値

$$\langle \Delta B \rangle = \frac{2}{3}r - \frac{1}{3}(1-r) - \frac{2}{3}\bar{r} + \frac{1}{3}(1-\bar{r}) = r - \bar{r}$$

$\therefore C$ or CP is conserved ($r = \bar{r}$)

$$\implies \Delta B = 0$$

process	分岐比	ΔB
$X \longrightarrow qq$	r	$2/3$
$X \longrightarrow \bar{q}\bar{l}$	$1-r$	$-1/3$
$\bar{X} \longrightarrow \bar{q}\bar{q}$	\bar{r}	$-2/3$
$\bar{X} \longrightarrow q, l$	$1-\bar{r}$	$1/3$

逆過程が suppress されるならば、 $B \propto r - \bar{r}$ が生成される。

実際、 $T \simeq m_X$ では、 X の崩壊率: $\Gamma_D \simeq \alpha m_X$ ($\alpha \sim 1/40$)

→ $\Gamma_D \simeq H(T = m_X)$ なので、 $X\bar{X}$ 対の生成・消滅は平衡から外れる。

$$H(T) \simeq 1.66 \sqrt{g_*} \frac{T^2}{m_{\text{Pl}}}$$

g_* : 有効 massless 自由度

SU(5) model は $B - L$ を保存 — $(B + L)$ を生成

→ **sphaleron 過程** が平衡になると $B + L \rightarrow 0$ (後述)



baryogenesis の新しい可能性

sphaleron 過程が平衡になる前に、 $B - L \neq 0$ を生成しておけばよい。

Leptogenesis: $\Delta L \neq 0 \rightarrow B = -L$

Baryogenesisのシナリオ

シナリオ	$\Delta B \neq 0$	CP の破れ	非平衡過程
GUTs	leptoquarkの崩壊	decay vertex	宇宙の膨張 $\Gamma_D < H$
Leptogenesis	heavy- ν の崩壊	decay vertex	宇宙の膨張 $\Gamma_D < H$
Affleck-Dine	$\langle \tilde{q} \rangle, \langle \tilde{l} \rangle \neq 0$	scalar potential	古典場の運動
Electroweak	sphaleron	Yukawa, gauge, SUSY-br.	電弱一次相転移
string, DW ⁽¹⁾	sphaleron	Yukawa, gauge	defectの運動
inflationary ⁽²⁾	\mathbb{B} -scalar	scalar potential	(p)reheating

- (1) Brandenberger and Davis, Phys. Lett. B308 ('93);
Brandenberger, Davis and Trodden, Phys. Lett. B349 ('94);
- (2) KF, Kakuto, Otsuki and Toyoda, Prog. Theor. Phys. 105 ('01)
Rangarajan and Nanopoulos, Phys. Rev. D64 ('01).

§2 Sphaleron Process

SMと同じ quark, lepton を含む電弱理論 : **chiral $U(1)$ anomaly** in $(B + L)$ -current

$$\partial_\mu j_{B+L}^\mu = \frac{N_f}{16\pi^2} [g_2^2 \text{Tr}(F_{\mu\nu} \tilde{F}^{\mu\nu}) - g_1^2 B_{\mu\nu} \tilde{B}^{\mu\nu}]$$

$$\partial_\mu j_{B-L}^\mu = 0$$

N_f = 世代数

$$\tilde{F}^{\mu\nu} \equiv \frac{1}{2} \epsilon^{\mu\nu\rho\sigma} F_{\rho\sigma}$$

これらの式の和を積分して

$$\begin{aligned} B(t_f) - B(t_i) &= \frac{N_f}{32\pi^2} \int_{t_i}^{t_f} d^4x \left[g_2^2 \text{Tr}(F_{\mu\nu} \tilde{F}^{\mu\nu}) - g_1^2 B_{\mu\nu} \tilde{B}^{\mu\nu} \right] \\ &= N_f [N_{CS}(t_f) - N_{CS}(t_i)] \end{aligned}$$

ここで N_{CS} は Chern-Simons number: $A_0 = 0$ -gauge では

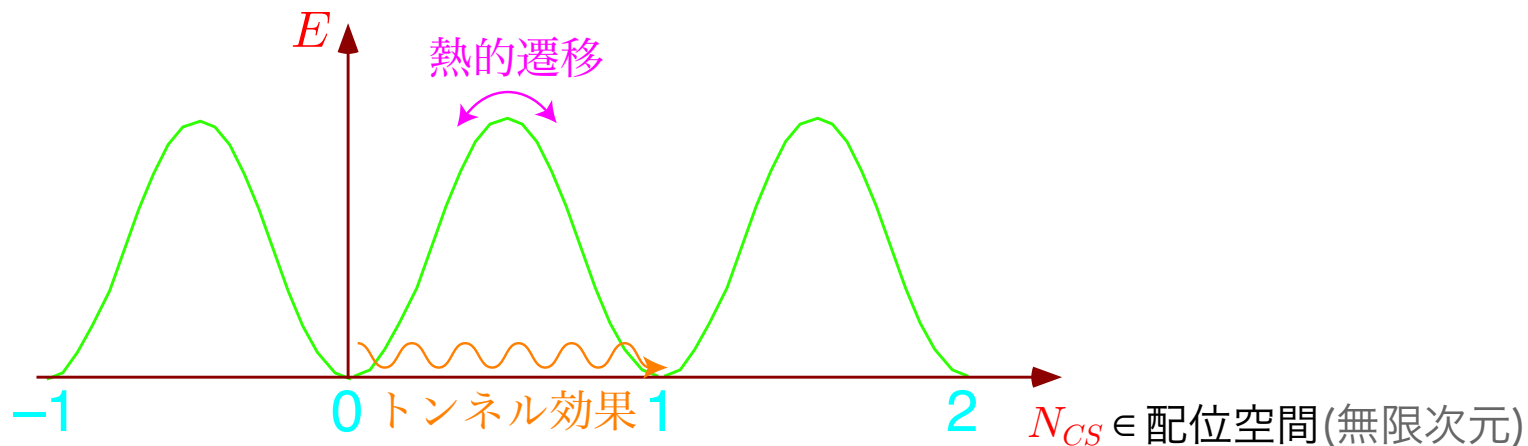
$$N_{CS}(t) = \frac{1}{32\pi^2} \int d^3x \epsilon_{ijk} \left[g_2^2 \text{Tr} \left(F_{ij} A_k - \frac{2}{3} g A_i A_j A_k \right) - g_1^2 B_{ij} B_k \right]_t$$

gauge系の**古典的真空** : $\mathcal{E} = \frac{1}{2}(\mathbf{E}^2 + \mathbf{B}^2) = 0 \iff F_{\mu\nu} = B_{\mu\nu} = 0$

$\iff A = iU^{-1}dU, B = dv$ with $U \in SU(2)$

$U(\mathbf{x}) : S^3 \rightarrow U \in SU(2) \simeq S^3$

$\pi_3(S^3) \simeq \mathbf{Z} \implies U(\mathbf{x})$ は整数 N_{CS} で分類される



$\Delta B \neq 0$ 過程

- ▷ 量子トンネル効果 低温
- ▷ 熱的遷移 高温

トンネル確率 $\sim e^{-2S_{\text{instanton}}} = e^{-8\pi^2/g_2^2} \simeq e^{-164} \ll 1 \quad \therefore$ 陽子崩壊の問題なし

★ broken phase

$$\Gamma_{\text{sph}}^{(b)} \simeq k \mathcal{N}_{\text{tr}} \mathcal{N}_{\text{rot}} \frac{\omega_-}{2\pi} \left(\frac{\alpha_W(T)T}{4\pi} \right)^3 e^{-E_{\text{sph}}/T}$$

E_{sph} = sphaleron energy

$$\mathcal{N}_{\text{tr}} = 26, \quad \mathcal{N}_{\text{rot}} = 5.3 \times 10^3 \text{ for } \lambda = g^2$$

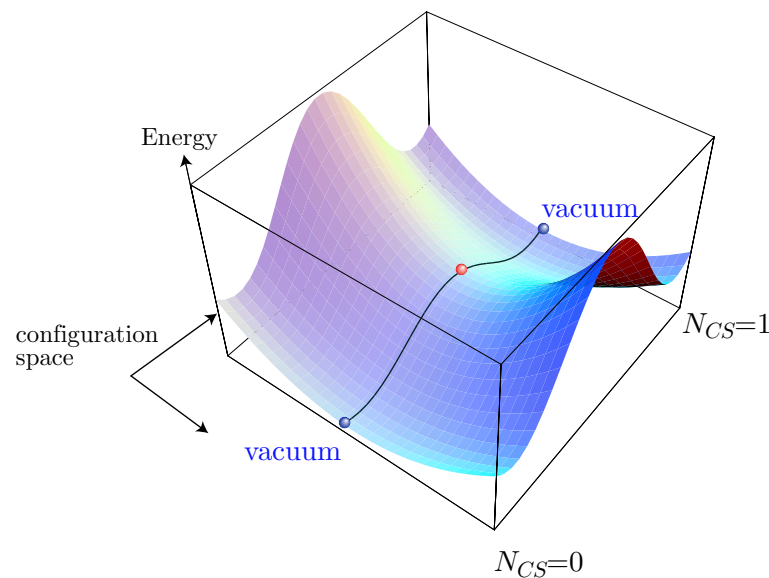
$$\omega_-^2 \simeq (1.8 \sim 6.6)m_W^2 \text{ for } 10^{-2} \leq \lambda/g^2 \leq 10, \quad k \simeq O(1)$$

Sphaleron (スファレロン) とは

不安定・静的古典解

語源：σφαλερος = ready-to-fall, deceitful

[cf. a-sphalt]



★ symmetric phase

$$\Gamma_{\text{sph}}^{(s)} \simeq \kappa(\alpha_W T)^4$$

← 次元解析

MC simulation $\Rightarrow \langle N_{CS}(t)N_{CS}(0) \rangle \sim \langle N_{CS} \rangle^2 + Ae^{-\Gamma V t}$

$\kappa = 1.09 \pm 0.04$ $SU(2)$ pure gauge系 [Ambjørn and Krasnitz, P.L.B362('95)]

対称相 (高温相) では Sphaleron 解は無いが、 **Sphaleron Transition** と言う。

bosonic configuration の変化 \Rightarrow fermion number ($B + L$) の変化

- index theorem
- level crossing (level hopping)

Sphaleron過程が平衡になった場合

— wash-out of $B + L$ —

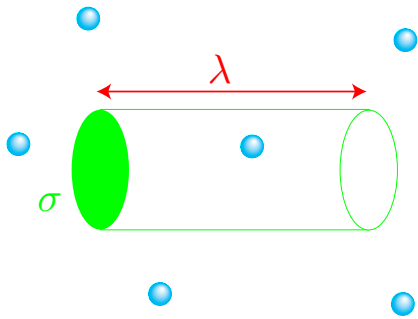
ある過程が平衡であるための条件

過程の時間スケール $\bar{t} = \Gamma^{-1}(T) < H^{-1}(T)$ 膨張の時間スケール

相対論的粒子: $\bar{t} \simeq \lambda$: mean free path

全断面積: σ 粒子数密度: $n(T)$

$$\sigma \cdot \lambda = \frac{1}{n(T)}$$



$$H(T) = \sqrt{\frac{8\pi G}{3} \rho(T)} \simeq 1.66 \sqrt{g_*} \frac{T^2}{m_{\text{Pl}}}$$

$$\text{エネルギー密度: } \rho(T) = \frac{\pi^2}{30} g_* T^4$$

放射自由度: g_*

SM with N_f generation, N_H Higgs doublets

$$g_* = 24 + 4N_H + \frac{7}{8} \cdot 30N_f \stackrel{\text{MSM}}{=} 106.75$$

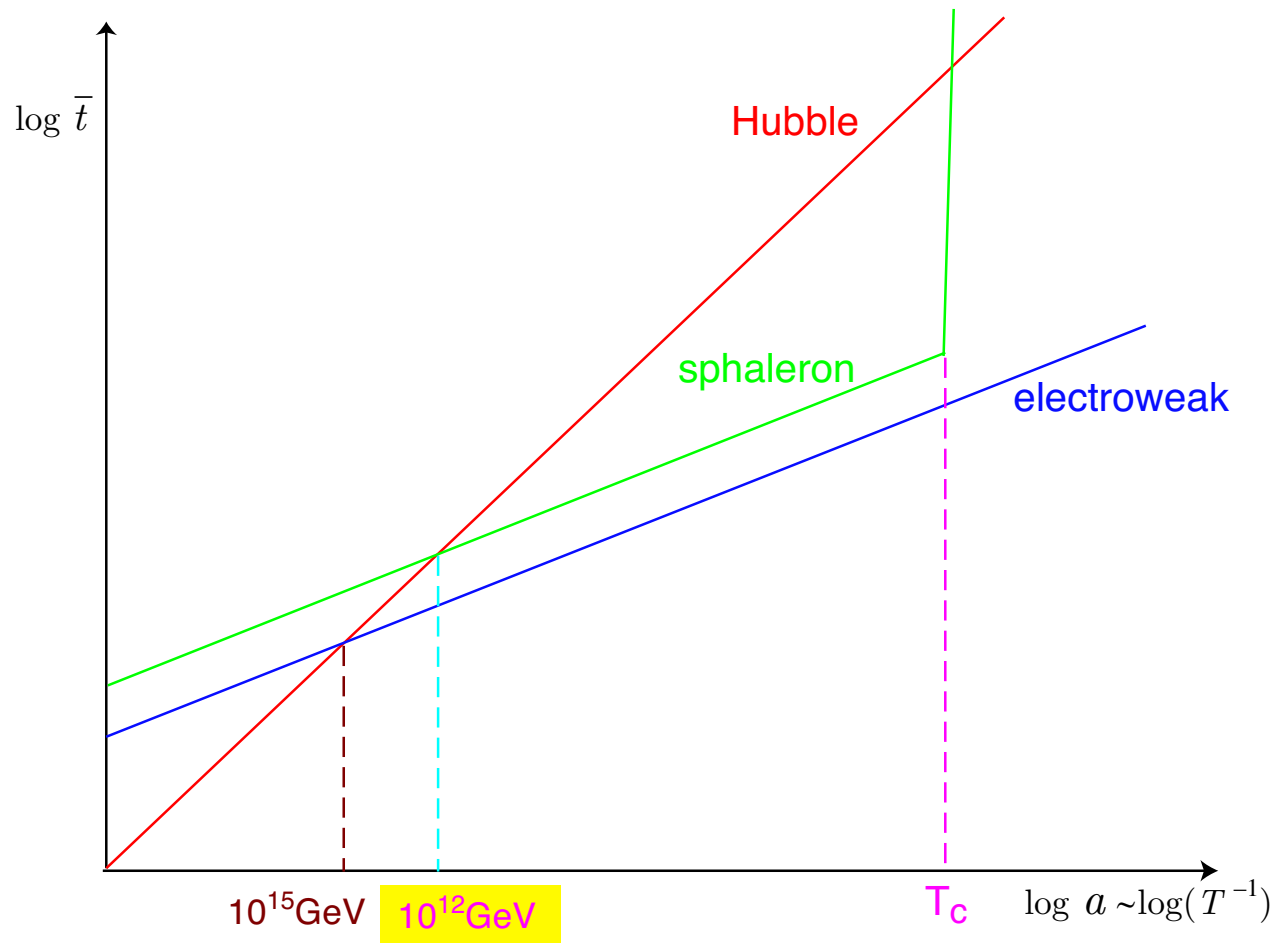
粒子数密度: $n(T) = g \int \frac{d^3\mathbf{k}}{(2\pi)^3} \frac{1}{e^{\sqrt{k^2+m^2}/T} \mp 1} \stackrel{m \ll T}{\simeq} g \begin{cases} \frac{\zeta(3)}{\pi^2} T^3 \\ \frac{3}{4} \frac{\zeta(3)}{\pi^2} T^3 \end{cases}$

$\zeta(3) = 1.2020569 \dots$

相対論的粒子に対しては、 $\sigma \simeq \frac{\alpha^2}{s} \simeq \frac{\alpha^2}{T^2} \quad \therefore \lambda \simeq \frac{10}{gT^3} \left(\frac{\alpha^2}{T^2} \right)^{-1} = \frac{10}{g\alpha^2 T}$

$T = 100\text{GeV}$: $\left\{ \begin{array}{ll} H(T)^{-1} \simeq 10^{14} \text{ GeV}^{-1} & \text{expansion} \\ \lambda_s \simeq \frac{1}{\alpha_s^2 T} \sim 1 \text{ GeV}^{-1} & \text{strong interactions} \\ \lambda_{EW} \simeq \frac{1}{\alpha_W^2 T} \sim 10 \text{ GeV}^{-1} & \text{EW interactions} \\ \lambda_Y \simeq \left(\frac{m_W}{m_f} \right)^4 \lambda_{EW} & \text{Yukawa interactions} \end{array} \right.$

sphaleron process: $\left\{ \begin{array}{ll} \Gamma_{\text{sph}}^{(\text{br})} \simeq T e^{-E_{\text{sph}}/T} & (T < T_C) \\ \Gamma_{\text{sph}}^{(\text{sym})} \simeq \kappa \alpha_W^4 T & (T > T_C) \end{array} \right.$



If $v(T_C) \ll 200\text{GeV}$ (eg. 2nd order EWPT), $\exists T_{\text{dec}}$, s.t.

$$T_{\text{dec}} < T < T_C \implies \Gamma_{\text{sph}}^{(b)}(T) > H(T)$$

wash-out of $B + L$ even in the broken phase

何れの相でも、一度 sphaleron 過程が化学平衡になると
その後の baryon number と lepton number は

$$B \propto (B - L)_{\text{primordial}} \quad L \propto (B - L)_{\text{primordial}}$$

比例係数は保存される量子数で決まるので、相により異なる

何れにせよ、 $(B - L)_{\text{primordial}} = 0$ ならば $B = L = 0$

∴ 現在の宇宙に物質 (baryon) が存在するためには、

- (i) sphaleron 過程が脱結合する前に、 $B - L \neq 0$ が存在する。
- (ii) $B + L$ を電弱一次相転移で生成し、且つ、
その後直ちに sphaleron 過程が凍結する。 ($v_C/T_C > 1$)

のどちらかでなければならない。

- (i) \implies GUTs, Leptogenesis, AD
- (ii) \implies EW baryogenesis

§3 Electroweak Baryogenesis

近い将来の実験で検証可能な理論にのみ基づく

review articles

- KF, Prog. Theor. Phys. 96 (1996) 475
- Rubakov and Shaposhnikov, Phys. Usp. 39 (1996) 461-502
(hep-ph/9603208)
- Riotto and Trodden, Ann. Rev. Nucl. Part. Sci. 49 (1999) 35
(hep-ph/9901362)
- Bernreuther, Lect. Notes Phys. 591 (2002) 237
(hep-ph/0205279)

Problems

★ 電弱相転移 (Electroweak Phase Transition)

静的 { 相転移の次数
相転移の強さ v_C/T_C — sphaleron 過程の decoupling
↔ Higgs spectrum

動的 一次相転移のダイナミクス

★ 非平衡過程 sphaleron 過程の化学平衡からのズレ
→ 生成されるバリオン数の評価

★ CP 対称性の破れ EWPT での CP violation
— EW bubble wall の profile
↔ EDM や B, K 系の CP violation

★ Electroweak Phase Transition

相転移温度: $T_C \simeq 100\text{GeV} \Rightarrow H^{-1}(T) \simeq 10^{14}\text{GeV}^{-1} \ll \bar{t}_{EW} \simeq \frac{1}{\alpha_W T} \sim 10\text{GeV}^{-1}$

→ 全ての粒子は**同じ温度で** kinetic equilibrium

∴ 非平衡の可能性は**一次相転移**

study of phase transitions

- static properties ← **Effective Potential** = 自由エネルギー密度 有限温度場の理論

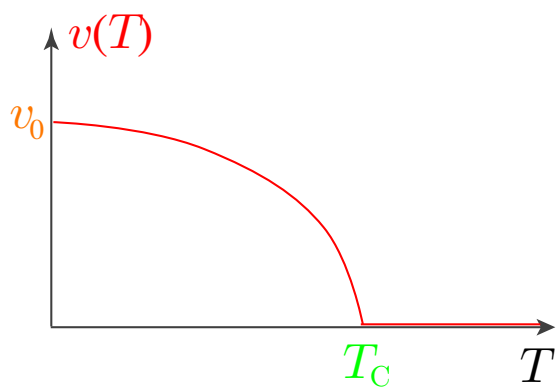
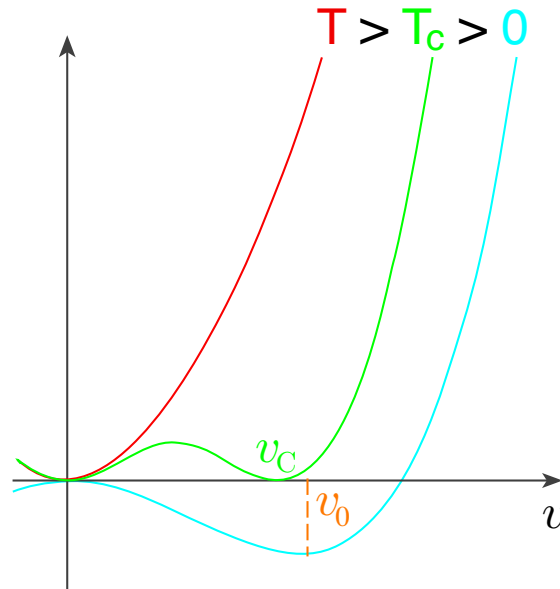
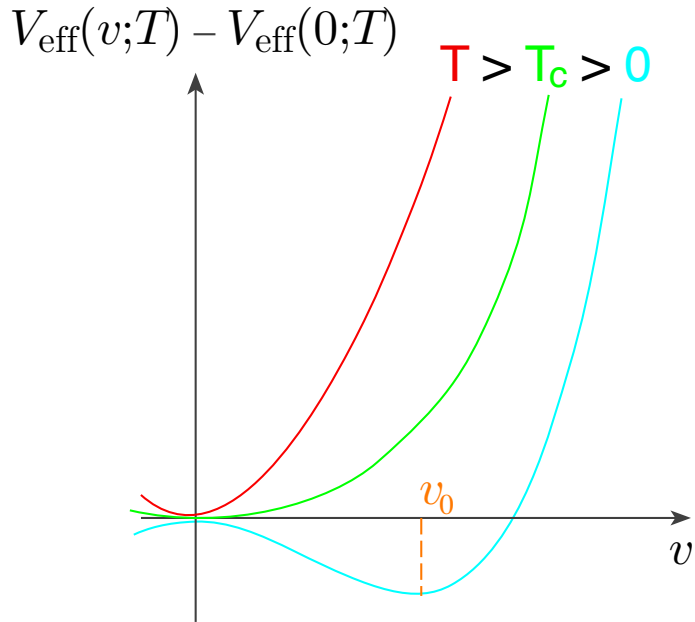
$$V_{\text{eff}}(\mathbf{v}; T) = -\frac{1}{V} T \log Z = -\frac{1}{V} \log \text{Tr} \left[e^{-H/T} \right]_{\langle \phi \rangle = \mathbf{v}}$$

- dynamics — **一次転移: bubbleの形成と成長**

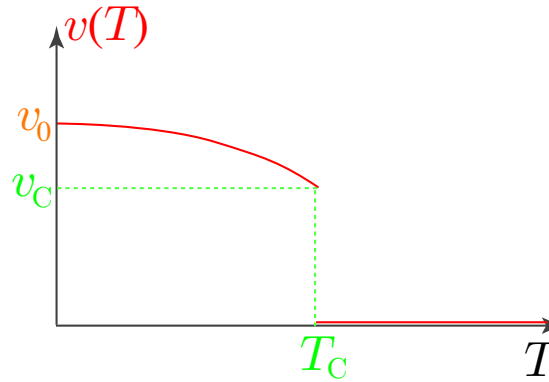
一般的な方法は無い。

quantum + thermal effect を考慮した simulation も困難。

相転移の次数と Higgs mass



2nd order PT



1st order PT

Minimal SM

order parameter:

$$\langle \Phi \rangle = \frac{1}{\sqrt{2}} \begin{pmatrix} 0 \\ \varphi \end{pmatrix}$$

∴ 1st order EWPT



$$v_C \equiv \lim_{T \uparrow T_C} \varphi(T) \neq 0$$

摂動計算: $V_{\text{eff}}(v) \rightarrow V_{\text{eff}}(v; T)$ by $\int \frac{d^4 k}{(4\pi)^4} \rightarrow \frac{i}{\beta} \sum_{n=-\infty}^{\infty} \int \frac{d^3 \mathbf{k}}{(2\pi)^3} (\dots) \Big|_{k^0 = i\omega_n}$

$$\omega_n = \begin{cases} 2\pi n/\beta & \text{(boson)} \\ (2n+1)\pi/\beta & \text{(fermion)} \end{cases}$$

例えば

$$\begin{aligned} \frac{i}{\beta} \sum_n \int \frac{d^3 \mathbf{k}}{(2\pi)^3} \log(k^2 - m^2) &= \int \frac{d^4 k}{(4\pi)^4} \log(k^2 - m^2) \pm \frac{2i}{\beta} \int \frac{d^3 \mathbf{k}}{(2\pi)^3} \log\left(1 \mp e^{-\beta\sqrt{\mathbf{k}^2 + m^2}}\right) \\ &= \int \frac{d^4 k}{(4\pi)^4} \log(k^2 - m^2) \pm \frac{iT^4}{\pi^2} \int_0^\infty dx x^2 \log\left(1 \mp e^{-\sqrt{x^2 + (m/T)^2}}\right) \end{aligned}$$

↑

$T = 0$ -contribution — $T = 0$ の counterterm で繰り込み可

一般的に、 $T = 0$ の C.T. で全ての loop integral を有限にできる。

Minimal SM — 1-loop の摂動論 ($W, Z, \text{top quark}$ の loop)

$$V_{\text{eff}}(\varphi; T) = -\frac{1}{2}\mu^2\varphi^2 + \frac{\lambda}{4}\varphi^4 + 2Bv_0^2\varphi^2 + B\varphi^4 \left[\log\left(\frac{\varphi^2}{v_0^2}\right) - \frac{3}{2} \right] + \bar{V}(\varphi; T)$$

where $B = \frac{3}{64\pi^2 v_0^4} (2m_W^4 + m_Z^4 - 4m_t^4),$

$$\bar{V}(\varphi; T) = \frac{T^4}{2\pi^2} [6I_B(a_W) + 3I_B(a_Z) - 6I_F(a_t)], \quad (a_A = m_A(\varphi)/T)$$

$$I_{B,F}(a) \equiv \int_0^\infty dx x^2 \log\left(1 \mp e^{-\sqrt{x^2+a^2}}\right).$$

high-temperature expansion [$m/T \ll 1$]

$$\gamma_E = 0.5772\dots$$

$$I_B(a) = -\frac{\pi^4}{45} + \frac{\pi^2}{12}a^2 - \frac{\pi}{6}(a^2)^{3/2} - \frac{a^4}{16} \log \frac{\sqrt{a^2}}{4\pi} - \frac{a^4}{16} \left(\gamma_E - \frac{3}{4} \right) + O(a^6)$$

$$I_F(a) = \frac{7\pi^4}{360} - \frac{\pi^2}{24}a^2 - \frac{a^4}{16} \log \frac{\sqrt{a^2}}{\pi} - \frac{a^4}{16} \left(\gamma_E - \frac{3}{4} \right) + O(a^6)$$

$T > m_W, m_Z, m_t$ として展開を適用すると、

$$V_{\text{eff}}(\varphi; T) \simeq D(T^2 - T_0^2)\varphi^2 - ET\varphi^3 + \frac{\lambda_T}{4}\varphi^4$$

where

$$D = \frac{1}{8v_0^2}(2m_W^2 + m_Z^2 + 2m_t^2), \quad E = \frac{1}{4\pi v_0^3}(2m_W^3 + m_Z^3) \sim 10^{-2}$$

$$\lambda_T = \lambda - \frac{3}{16\pi^2 v_0^4} \left(2m_W^4 \log \frac{m_W^2}{\alpha_B T^2} + m_Z^4 \log \frac{m_Z^2}{\alpha_B T^2} - 4m_t^4 \log \frac{m_t^2}{\alpha_F T^2} \right)$$

$$T_0^2 = \frac{1}{2D}(\mu^2 - 4Bv_0^2), \quad \log \alpha_{F(B)} = 2 \log(4)\pi - 2\gamma_E$$

At T_C , \exists degenerate minima: $\varphi_C = \frac{2ET_C}{\lambda_{T_C}}$

$$\Gamma_{\text{sph}}^{(\text{br})} < H(T_C) \iff \frac{\varphi_C}{T_C} \gtrsim 1 \implies \text{upper bound on } \lambda \quad [m_H = \sqrt{2}\lambda v_0]$$

$$\longrightarrow m_H \lesssim 46 \text{ GeV} \implies \text{MSM is excluded!}$$

★ Monte Carlo simulations

[Minimal SM]

effective fermion mass : $m_f(T) \sim O(T) \leftarrow |\omega_n| = |(2n+1)\pi T| \geq \pi T$

∴ bosons だけで simulation

格子場の理論 $\left\{ \begin{array}{l} \text{scalar fields: } \phi(x) \text{ on the sites} \\ \text{gauge fields: } U_\mu(x) \text{ on the links} \end{array} \right.$

$$Z = \int [d\phi dU_\mu] \exp \{-S_E[\phi, U_\mu]\}$$

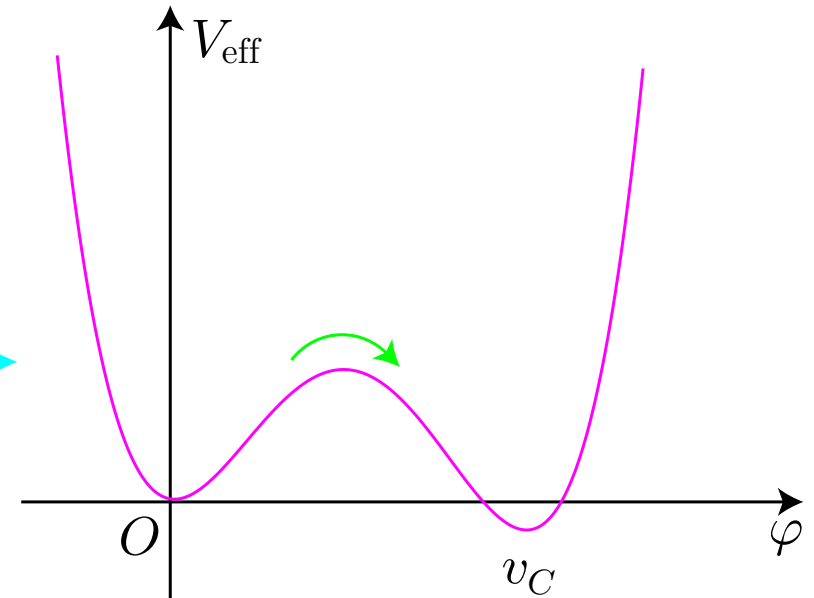
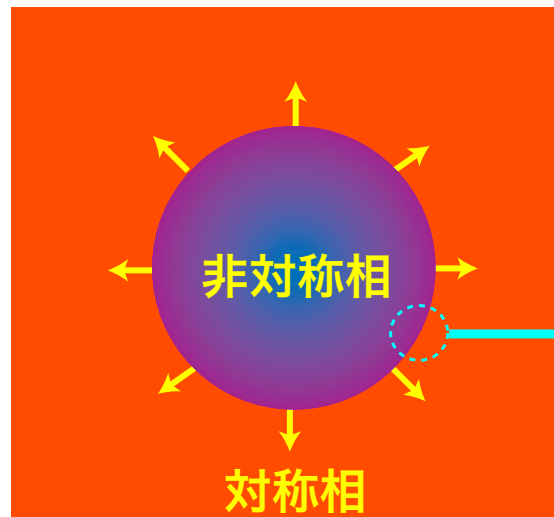
- 3-dim. $SU(2)$ system with a Higgs doublet and a triplet time-component of U_μ
[Laine & Rummukainen, hep-lat/9809045]
- 4-dim. $SU(2)$ system with a Higgs doublet [Csikor, hep-lat/9910354]
EWPT is first order for $m_h < 66.5 \pm 1.4 \text{ GeV}$

Both the simulations found end-point of EWPT at

$$m_h = \left\{ \begin{array}{l} 72.3 \pm 0.7 \text{ GeV} \\ 72.1 \pm 1.4 \text{ GeV} \end{array} \right. \Rightarrow \boxed{\text{no PT (cross-over) in the MSM !}}$$

★ 一次相転移のダイナミクス

対称相の中に非対称相の
泡の形成・成長



古典統計力学的方法

[Langer, Ann. Phys. 41 ('67)]

単位時間・単位体積当たりの nucleation rate: $I(T) = I_0 e^{-\Delta F(T)/T}$

半径 r の泡に対して $\Delta F(T) = \frac{4\pi}{3} r^3 [p_s(T) - p_b(T)] + 4\pi r^2 \sigma$

圧力: $p = -\frac{\partial F}{\partial V} = -V_{\text{eff}} \quad p_s(T) = -V_{\text{eff}}(0; T) < p_b(T) = -V_{\text{eff}}(v(T); T)$

表面エネルギー密度: $\sigma = \int dz \left(\frac{d\varphi}{dz} \right)^2$

critical bubble — 成長と収縮の境目の泡

$$\frac{\partial \Delta F(T)}{\partial r} = 0 \longrightarrow r_*(T) = \frac{2\sigma}{p_b(T) - p_s(T)} \quad : \text{critical bubble 半径}$$

$r_* >$ correlation length ($\sim m_\phi^{-1}$) ならば、古典統計的取り扱い OK

一次相転移の進み方

1. $T < T_C$ (supercooled) で、熱的揺らぎにより $I(T)$ の確率で半径 r の bubble が形成。
2. $r > r_*$ の bubble が成長する。
成長速度 $v(T)$ — [Liu, McLerran, Turok, Phys. Rev. D46 ('92)]
3. 全空間が broken phase になったところで完了。



$SU(5)$ GUT の 1st-order PT — Guth and E. Weinberg, Phys. Rev. D28 ('81)

- EW with a light Higgs — Carrington and Kapusta, Phys. Rev. D47 ('93)

$f(t)$: broken phase に変えられた体積の割合
 $V(t', t)$: 時刻 t' で形成された 1 つの bubble の時刻 t での体積

時刻 t_C に温度が T_C になったとすると、

$$f(t) = \int_{t_C}^t dt' I(T(t')) [1 - f(t')] V(t', t)$$

ここで
$$V(t', t) = \frac{4\pi}{3} \left[r_*(T(t')) + \int_{t'}^t dt'' v(T(t'')) \right]^3$$

$v(T)$: wall velocity

$T = T(t) \leftarrow$ RD-FRW universe ($a(t) \propto t^{1/2} \propto T^{-1}$)

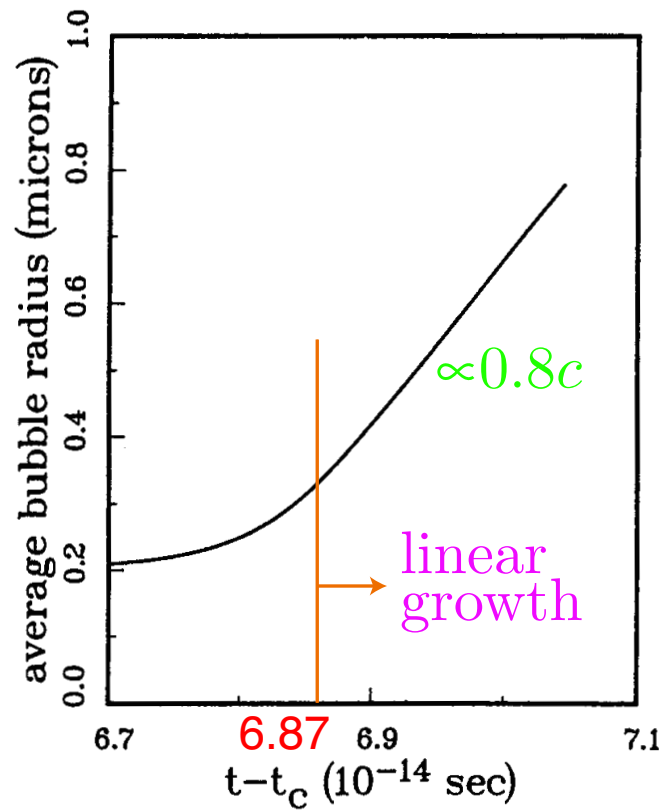
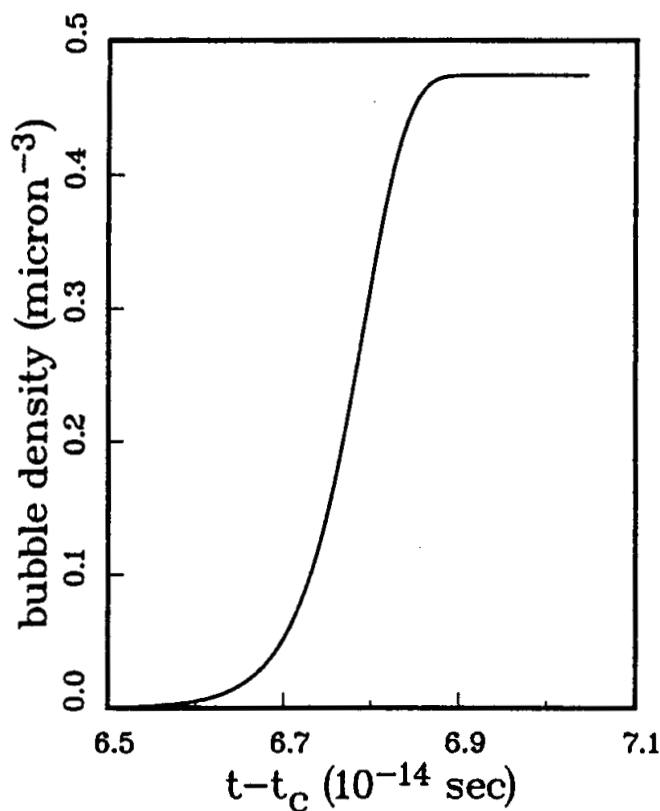
→ $f(t)$ を用いて bubble の体積の時間発展、bubble の平均半径を計算

Minimal SM で、1-loop level の V_{eff} を用い $f(t)$ を数値計算

$$m_h = 60\text{GeV and } m_t = 120\text{GeV}$$

$t - t_C = 6.5 \times 10^{-14} \text{sec}$ で bubble の形成が始まる。

[cf. $\bar{t}_{EW} = 10^{-26} \text{sec}$]

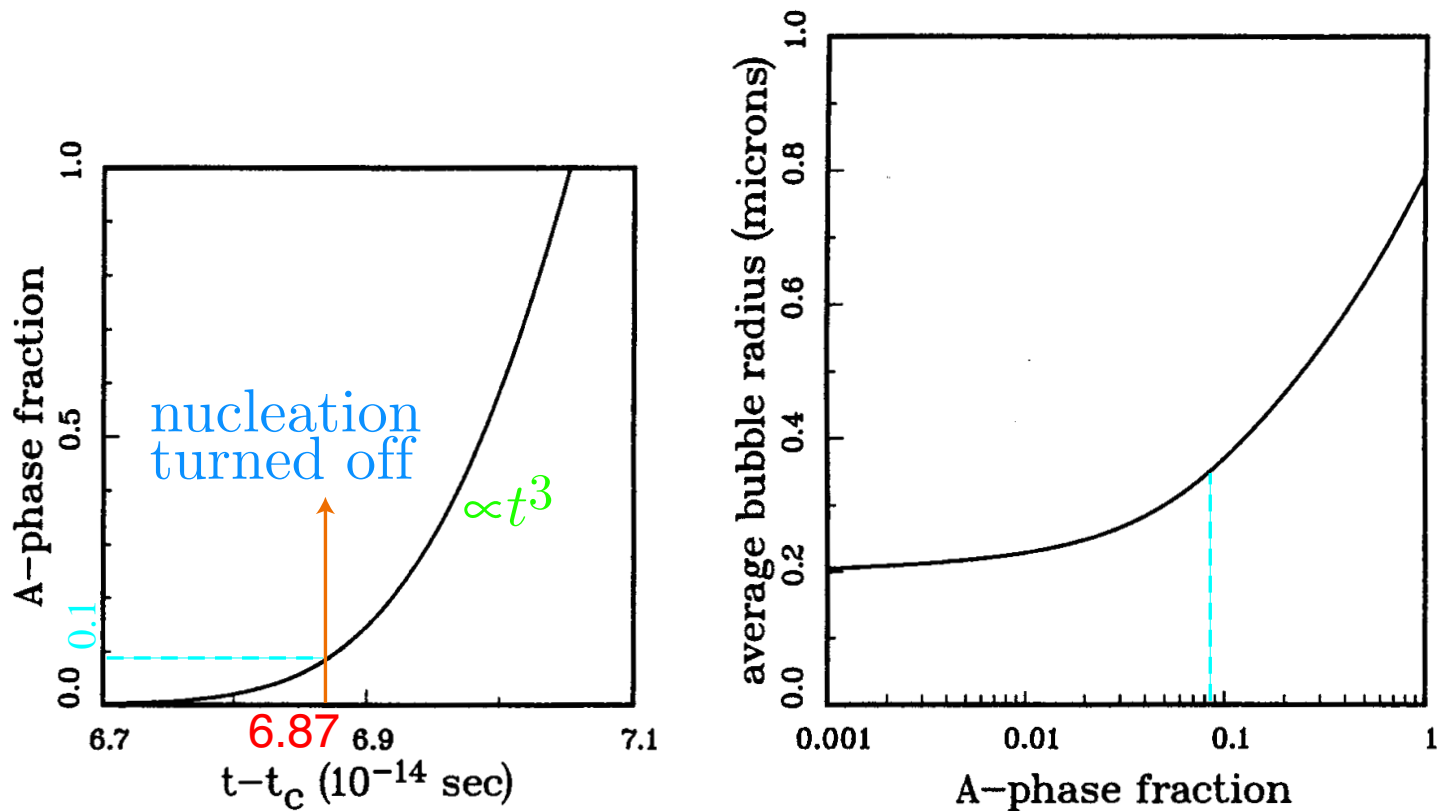


bubble の典型的な半径: $r = 0.3 \mu\text{m}$ \leftrightarrow Horizon size: $H^{-1} \simeq 7.1 \times 10^{12} \text{GeV}^{-1} = 0.14 \text{cm}$

Horizon 内の bubble 数 $\simeq 3 \times 10^{11}$

非常に小さな過冷却: $\frac{T_C - T_N}{T_C} \simeq 2.5 \times 10^{-4}$

[cf. 水 \rightarrow 氷の過冷却 $O(10^{-2})$]



→ 宇宙の体積の90%は bubble の成長で broken phase に転移

弱い相転移

小さな v_C/T_C

低い相の間の barrier

⇒ { bubble の成長より形成により相転移が進む
 厚い bubble wall
 2つの相の間の揺らぎ

$V_{\text{eff}}(v; T)$ がわかれば、

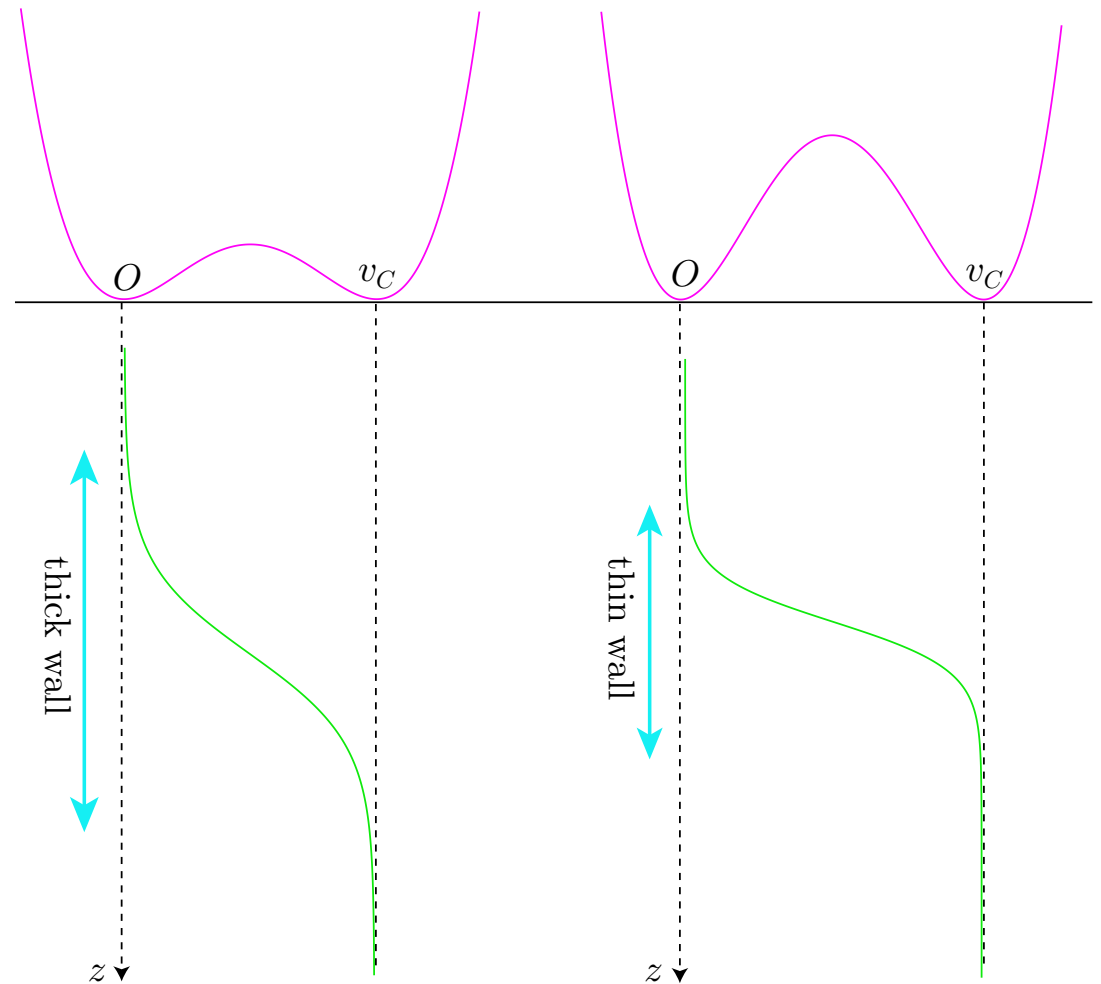
▷ r_* : critical bubble

▷ v_C/T_C

▷ $V_{\text{eff}}(v; T_C) \xrightarrow{\text{EOM}}$ bubble wall profile
wall width: $\Delta(T)$

model によって, $\Delta(T) \simeq \frac{1-30}{T}$

~ 数 GeV の粒子の Compton 波長



wall width : $\Delta = \frac{10}{100\text{GeV}} \simeq 2 \times 10^{-15}\text{cm} \ll r_* \simeq 0.2\mu\text{m}$: critical bubble 半径

⇒ wall \simeq 平面 — 一次元問題

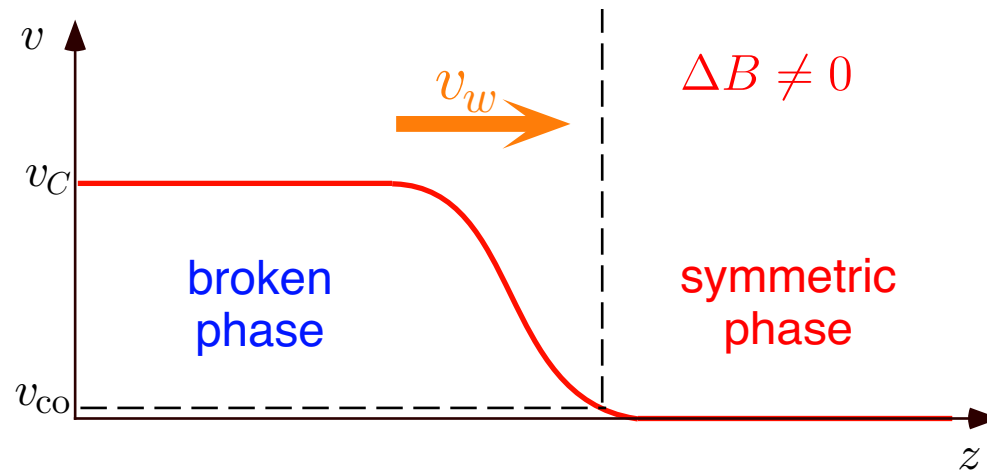
★ Mechanism of EW Baryogenesis

一次相転移の時間スケール: $t_{\text{wall}} \sim \frac{\Delta(T)}{v(T)} = \frac{(1-30)/T}{0.1-0.9} = (0.01-3)\text{GeV}^{-1}$

$T = 100\text{GeV}$ では、

$$\bar{t}_s \simeq 0.1\text{GeV}^{-1} \ll \bar{t}_{EW} \simeq 1\text{GeV}^{-1} \ll \bar{t}_{\text{sph}} \simeq 10^5\text{GeV}^{-1} \ll H^{-1} \simeq 10^{14}\text{GeV}^{-1}$$

1. $H^{-1} \gg \bar{t}_{EW}$ なので、bubble wallから離れた所では、全ての粒子は**同じ温度で**
*kinetic equilibrium*にある。宇宙膨張の効果は無視できる。
2. $\lambda_Y > \lambda_{EW} \gg \Delta$ なので、すべての lepton と幾つかの quark は、bubble wall に
よる散乱の前後は殆ど**自由に伝搬**する。
3. $t_{\text{wall}} \ll \bar{t}_{\text{sph}}$ なので、sphaleron過程はbubble wallの近傍で *chemical equilibrium*
から外れている。



bubble wall (Higgs field) との相互作用では B は保存

— symmetric phase の領域内部で sphaleron 過程により $\Delta(B + L) \neq 0$

CP を破る bubble wall との相互作用 + bubble wall の運動



chiral charge flux [$Q_L \neq Q_R$]

symmetric phase で保存されるもの = Y, I



sphaleron 過程に bias



B 生成、その後に broken phase になり凍結

I. chiral charge flux — diffusion eq. の source term

bubble wall profile $\rightarrow \langle \phi(x) \rangle = v(x)e^{i\theta(x)}$

$$(i\partial - m(x))\psi(x) = 0 \quad m(x) = \begin{cases} y v(x)e^{i\theta(x)} \\ \langle \phi(x) \rangle \text{ を含む mass matrix} \end{cases} \quad [\text{SUSY}]$$

▷ CP-violating wave equation

★ **数値解** [Nelson, et al, Nucl. Phys. B373 ('92); KF, et al, Prog. Theor. Phys. 95 ('96)]

★ **摂動論** — 様々な相互作用を取り入れられる、解析的關係式が導出できる

– expansion w.r.t. $\text{Im } m(x)$ [KF, et al, Phys. Rev. D50 ('94)]

– expansion w.r.t. $m(x)$ — 自由粒子の bubble wall による多重散乱
[Huet and Nelson, Phys. Lett. B355 ('95); Phys. Rev. D53 ('96)]

– derivative expansion [Carena, et al., Nucl. Phys. B503 ('97)]

▷ Nonequilibrium field theory — Closed-Time-Path formalism for Wightman functions

[Riotto, Phys. Rev. D53 ('96); Kainulainen, et al., JHEP 06 ('01); Phys. Rev. D66 ('02)]

II. diffusion equation

— symmetric phase 領域に流入する chiral charge の評価

charge や particle number density Q_i に対する diffusion equation:

$$\dot{Q}_i(t, \mathbf{x}) = D_{Q_i} \nabla^2 Q_i - \sum_j \Gamma_{ij} c_j Q_j + [\text{source term}]$$

D_Q : Q の diffusion const. \sim mean-free path の数倍

Γ_{ij} : 反応過程による Q_i の転換率 c_i : 統計因子

[Cohen, Kaplan, Nelson, Phys. Lett. B336 ('94); Joyce, Prokopec, Turok, Phys. Rev. D53 ('96)]

簡便計算法

非平衡定常状態 ($\dot{Q}(t, \mathbf{x}) = 0$) で、(近似的に) 保存される量 ($\Gamma \simeq 0$)



symmetric phase に残る total charge は

D_Q と流入する flux (source term) で評価できる

bubble wall の速度がほぼ一定



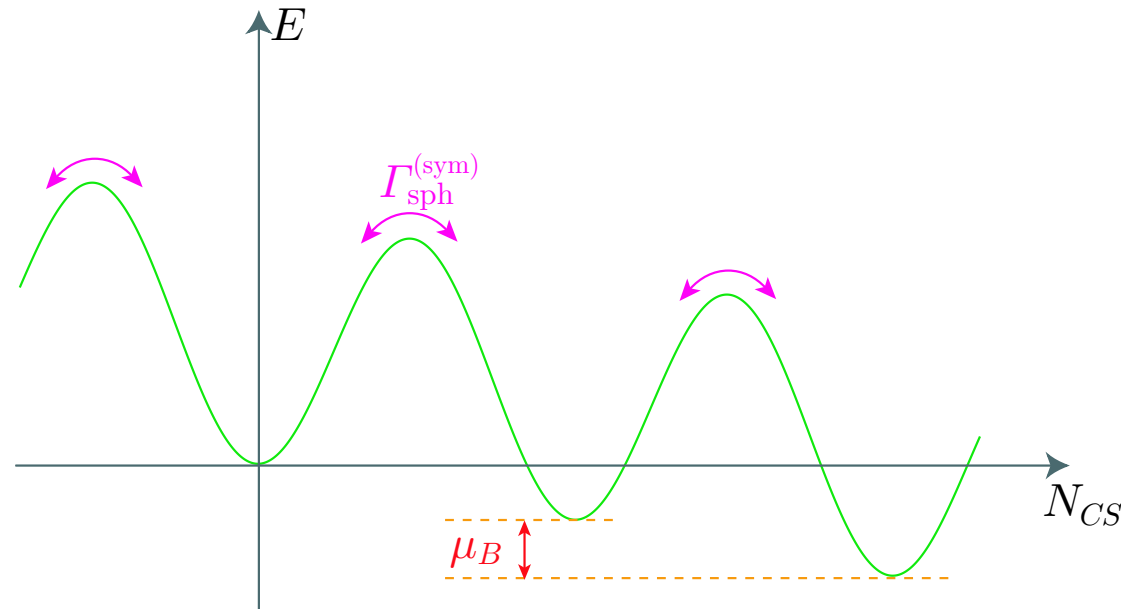
chiral charge の定常流



chiral charge に比例した μ_B



非平衡定常状態



detailed balance



$$\dot{n}_B = -3_{\text{gen}} \frac{\mu_B \Gamma_{\text{sph}}}{T}$$

[Appendix of KF, Prog. Theor. Phys. 96]

chiral charge = Y の場合、 $\mu_B = \frac{Y}{(m + 5/3)T^2}$ $\left\{ \begin{array}{l} Y = \text{hypercharge 密度} \\ m = \text{Higgs doublet の数} \end{array} \right.$

⇐ sphaleron 化学平衡を除いた chem. potential の関係式

[Nelson, Cohen, Kaplan, Nucl. Phys. B373 ('92)]

Debye screening を考慮した再計算

[Cohen, Kaplan, Nelson, Phys. Lett. B294 ('92)]

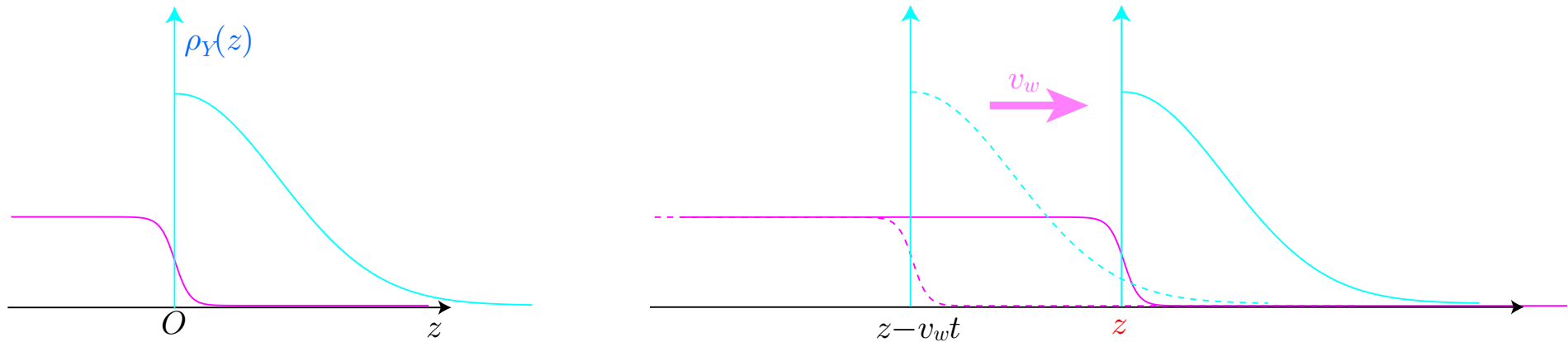
★ 生成されるBAU

$$n_B = -3 \frac{\Gamma_{\text{sph}}}{T} \int dt \mu_B = \frac{3 \Gamma_{\text{sph}}}{(m + 5/3) T^3} \int_{-\infty}^{z/v_w} dt \rho_Y(z - v_w t)$$

bubble wall は一定速度 v_w で動くとする。

$\rho_Y(z)$: wall から距離 z の Y -density

⇒ 右辺の積分 = 無限の過去から現在の位置 z まで wall が動く間に貯まる Y の総量



$$\int_{-\infty}^{z/v_w} dt \rho_Y(z - v_w t) = \frac{1}{v_w} \int_0^{\infty} dz \rho_Y(z) \simeq \frac{F_Y \tau}{v_w} \quad (F_Y = \text{injected flux})$$

τ : wall で散乱された粒子が wall に捕まるまでに走る時間 \simeq diffusion length

$$\text{BAU: } \frac{n_B}{s} \simeq 3\mathcal{N} \frac{100}{\pi^2 g_*} \cdot \kappa \alpha_W^4 \cdot \frac{F_Y}{v_w T^3} \cdot \tau T$$

$$\mathcal{N} \sim O(1), \quad \tau \simeq \text{m.f.p.} \rightarrow \tau T \simeq \begin{cases} 1 & \text{for quarks} \\ 10^2 \sim 10^3 & \text{for leptons} \end{cases}$$

m.f.p. は total cross section を用いて評価されるが、

MC simulation \implies forward scattering enhanced :

for top quark $\tau T \simeq 10 \sim 10^3$ max. at $v_w \simeq 1/\sqrt{3}$

for this optimal case

$$\frac{n_B}{s} \simeq 10^{-3} \cdot \frac{F_Y}{v_w T^3}$$

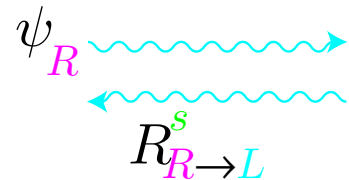
$$\frac{F_Y}{v_w T^3} \sim O(10^{-7}) \implies \text{十分なBAU}$$

chiral charge flux の計算

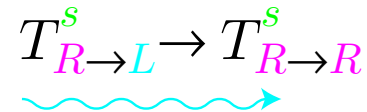
$$i\partial\psi(x) - m(x)P_R\psi(x) - m^*(x)P_L\psi(x) = 0$$

ここで $-y\langle\phi(x)\rangle = m(x) \in \mathbf{C}$ $m(x)$ は rephasing で除けない phase を持つとする

symmetric phase



broken phase



$Q_{L(R)}^i$: 粒子 i の L(R)-handed fermion が持つ charge

$R_{R \rightarrow L}^s$: symmetric phase 領域から入射した R-handed fermion が反射するときの反射係数

$\bar{R}_{R \rightarrow L}^s$: $R_{R \rightarrow L}^s$ の反粒子版

symmetric phase領域に流入する charge の期待値

symmetric phase の粒子・反粒子の寄与：[反射と透過]

$$\begin{aligned} \Delta Q_i^s = & [(Q_R^i - Q_L^i)R_{L \rightarrow R}^s + (-Q_L^i + Q_R^i)\bar{R}_{R \rightarrow L}^s \\ & + (-Q_L^i)(T_{L \rightarrow L}^s + T_{L \rightarrow R}^s) - (-Q_R^i)(\bar{T}_{R \rightarrow L}^s + \bar{T}_{R \rightarrow R}^s)]f_{Li}^s \\ & + [(Q_L^i - Q_R^i)R_{R \rightarrow L}^s + (-Q_R^i + Q_L^i)\bar{R}_{L \rightarrow R}^s \\ & + (-Q_R^i)(T_{R \rightarrow L}^s + T_{R \rightarrow R}^s) - (-Q_L^i)(\bar{T}_{L \rightarrow L}^s + \bar{T}_{L \rightarrow R}^s)]f_{Ri}^s \end{aligned}$$

broken phase の粒子・反粒子の透過による寄与：

$$\begin{aligned} \Delta Q_i^b = & Q_L^i(T_{L \rightarrow L}^b f_{Li}^b + T_{R \rightarrow L}^b f_{Ri}^b) + Q_R^i(T_{L \rightarrow R}^b f_{Li}^b + T_{R \rightarrow R}^b f_{Ri}^b) \\ & + (-Q_L^i)(\bar{T}_{R \rightarrow L}^b f_{Li}^b + \bar{T}_{L \rightarrow L}^b f_{Ri}^b) + (-Q_R^i)(\bar{T}_{R \rightarrow R}^b f_{Li}^b + \bar{T}_{L \rightarrow R}^b f_{Ri}^b) \end{aligned}$$

unitarity: $R_{L \rightarrow R}^s + T_{L \rightarrow L}^s + T_{L \rightarrow R}^s = 1, \quad \text{etc.}$

reciprocity: $T_{R \rightarrow L}^s + T_{R \rightarrow R}^s = T_{L \rightarrow L}^b + T_{R \rightarrow L}^b, \quad \text{etc.}$

$$f_{iL}^{s(b)} = f_{iR}^{s(b)} \equiv f_i^{s(b)} \quad [\text{同じ mass で kinetic equil.}]$$

を用いると、

$$\Delta Q^s_i + \Delta Q^b_i = (Q_L^i - Q_R^i)(f^s_i - f^b_i)\Delta R$$

ここで

$$\Delta R \equiv R^s_{R \rightarrow L} - \bar{R}^s_{R \rightarrow L}$$

- ★ bubble wall の profile
- ★ 入射粒子の運動量

厚さ, CP の破れ

symmetric phase region に流入する total flux [wall の静止系で]

$$F^i_Q = \frac{Q_L^i - Q_R^i}{4\pi^2\gamma} \int_{m_0}^{\infty} dp_L \int_0^{\infty} dp_T p_T [f_i^s(p_L, p_T) - f_i^b(-p_L, p_T)] \Delta R \left(\frac{m_0}{a}, \frac{p_L}{a}\right)$$

$$f_i^s(p_L, p_T) = \frac{p_L}{E} \frac{1}{\exp[\gamma(E - v_w p_L)/T] + 1}$$

$$f_i^b(-p_L, p_T) = \frac{p_L}{E} \frac{1}{\exp[\gamma(E + v_w \sqrt{p_L^2 - m_0^2})/T] + 1}$$

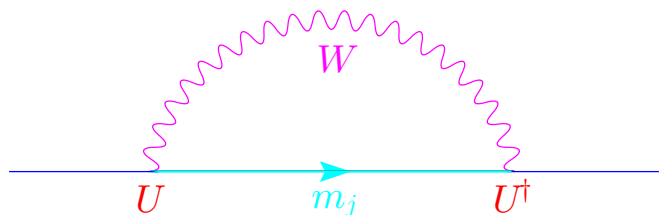
$1/a =$ wall width, $E = \sqrt{p_L^2 + p_T^2}$

$m_0 =$ broken phase での質量

- N.B.**
- $F_Q \propto Q_L - Q_R \Rightarrow B$ のような vectorlike charge の flux は生じない
 - $v_w \rightarrow 0$ では、 $f^s(p_L, p_T) - f^b(-p_L, p_T) \rightarrow 0 \quad \therefore F_Q \rightarrow 0$
 - $p_L < m_0 \Rightarrow$ 透過率=0 : unitarity より $R^s_{R \rightarrow L} = \bar{R}^s_{R \rightarrow L} = 1 \quad \therefore \Delta R = 0$

ΔR を生じる CP 対称性の破れ

★ Minimal SM — CKM phase $[\theta_{\text{QCD}} \simeq 0]$



$m_i \neq m_j$:

→ dispersion に $O(\alpha_W)$ の CP の破れの効果

[Farrar, Shaposhnikov, Phys. Rev. 50 ('94)]

▷ QCD による decoherence (short range)

[Gavela, et al., Nucl. Phys. B430 ('94)]

▷ bubble wall による多重散乱

[Huet, Sather, Phys. Rev. D51 ('95)]

→ $\left| \frac{n_B}{s} \right| < 10^{-26}$

★ 計算例 — toy model

$$m(z) = m_0 \frac{1 + \tanh(az)}{2} \exp\left(-i\pi \frac{1 - \tanh(az)}{2}\right)$$

— no CP violation in the broken phase [$z \sim \infty$]

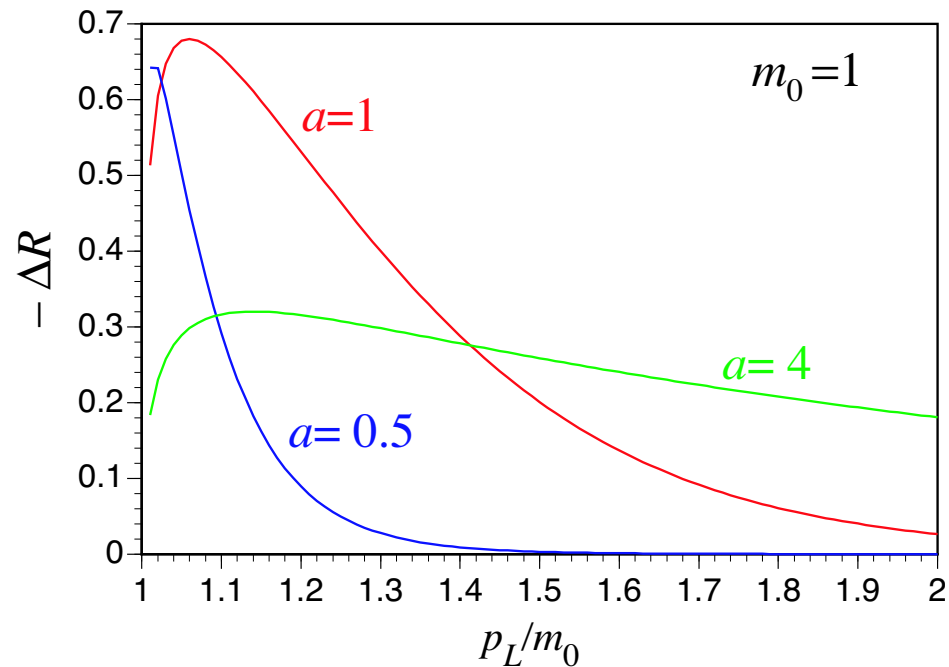
● $\Delta R \equiv R^s_{R \rightarrow L} - \bar{R}^s_{R \rightarrow L}$

[KF et al., Phys. Rev. D50 ('94); Prog. Theor. Phys. 95 ('96)]

wall width \simeq wave length of the carrier $\Rightarrow \Delta R \sim O(1)$



大きな Yukawa coupling は
必ずしも大きな flux を
意味しない

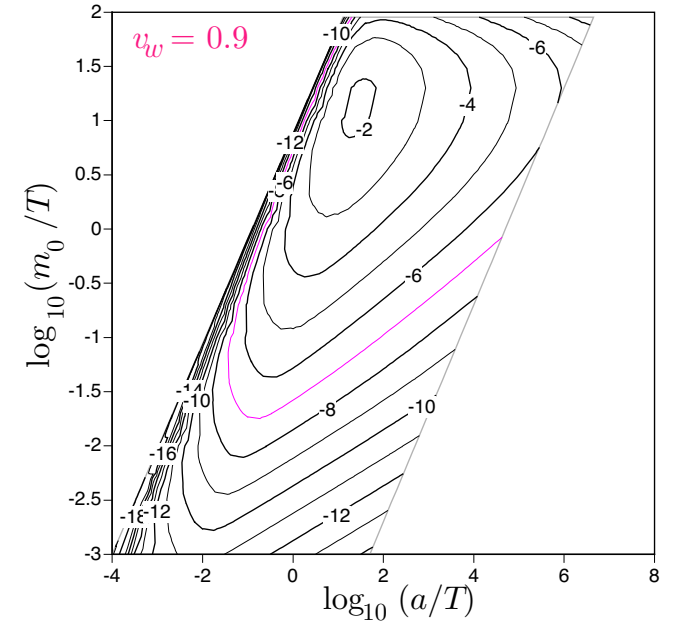
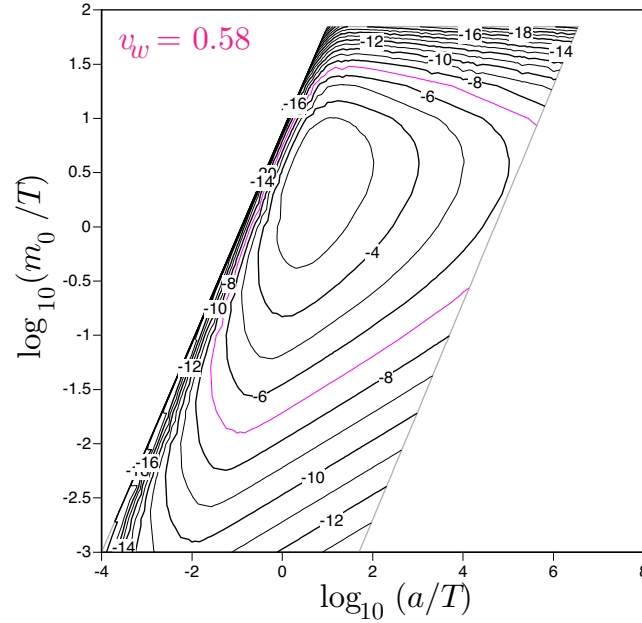
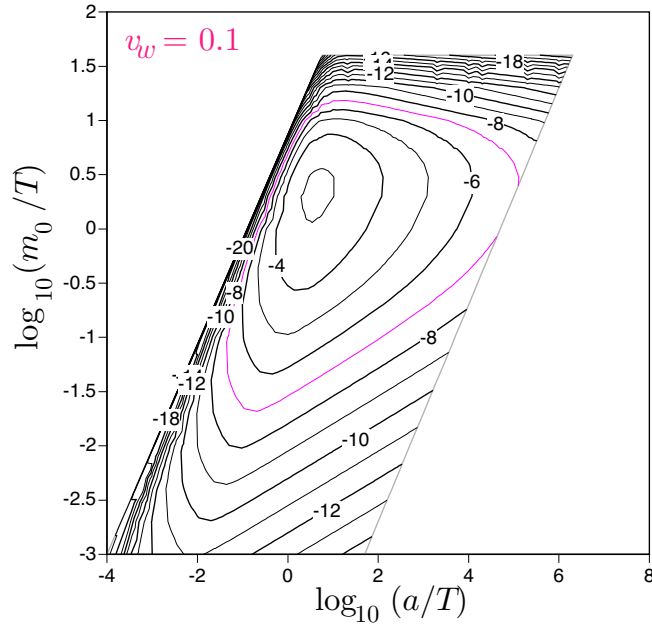


- chiral charge flux

$$\frac{F_Q}{T^3(Q_L - Q_R)}$$

[dimensionless] の log plot

at $T = 100\text{GeV}$



$$\frac{n_B}{s} \simeq 3\mathcal{N} \frac{100}{\pi^2 g_*} \cdot \kappa \alpha_W^4 \cdot \frac{F_Y}{v_w T^3} \cdot \tau T^{\text{optimal}} \simeq 10^{-3} \cdot \frac{F_Y}{v_w T^3}$$

bubble wall 近傍で $O(1)$ の CP phase を仮定しているが、もっと小さくても OK

§4 Higgs Sector in the MSSM and NMSSM

Higgs potential \Rightarrow $\left\{ \begin{array}{l} \text{Higgs 粒子の質量} \\ \text{EWPT — 次数、} v_C/T_C \end{array} \right.$

	SM	MSSM	NMSSM
Higgs 場	$\Phi = \begin{pmatrix} \phi^+ \\ \phi^0 \end{pmatrix}$	Φ_d, Φ_u	Φ_d, Φ_u, n
physical	$H (= \phi^0 - v_0)$	H_1, H_2, A, H^\pm	$H_1, H_2, H_3, A_1, A_2, H^\pm$
potential	$-\mu^2 \Phi^\dagger \Phi + \lambda (\Phi^\dagger \Phi)^2$	$V_D(\Phi_d, \Phi_u) + V_{\text{soft}}$	$V_D(\Phi_d, \Phi_u) + V_F(\Phi_d, u, n) + V_{\text{soft}}$

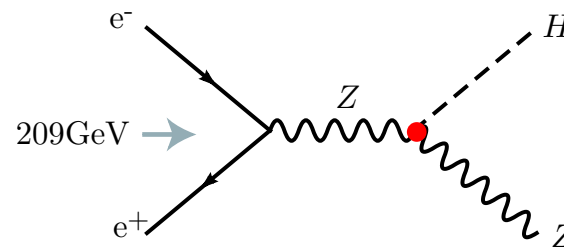
mass of the neutral Higgs bosons (tree level)

SM: $m_H = \sqrt{2\lambda}v_0$ with a free parameter λ

MSSM: $m_{H_1} \leq \min \{m_Z, m_A\} \xrightarrow{\text{量子補正}} m_{H_1} < 135\text{GeV}$

実験からの制限: $m_H \geq 114\text{GeV}$

LEP II



★ MSSM

$$V_0 = m_1^2 \Phi_d^\dagger \Phi_d + m_2^2 \Phi_u^\dagger \Phi_u - (m_3^2 \Phi_d \Phi_u + \text{h.c.}) + \frac{g_2^2 + g_1^2}{8} (\Phi_d^\dagger \Phi_d - \Phi_u^\dagger \Phi_u)^2 + \frac{g_2^2}{2} |\Phi_d^\dagger \Phi_u|^2$$

Higgs場の真空期待値 (order parameters)

$$\langle \Phi_d \rangle = \begin{pmatrix} v_d/\sqrt{2} \\ 0 \end{pmatrix}, \quad \langle \Phi_u \rangle = e^{i\theta} \begin{pmatrix} 0 \\ v_u/\sqrt{2} \end{pmatrix} \quad \begin{cases} v_0 = \sqrt{v_d^2 + v_u^2} = 246 \text{ GeV} \\ \tan \beta \equiv |v_u/v_d| \end{cases}$$

tree-levelの結果

▷ no CP violation ($\theta = 0$ by rephasing)

$$\triangleright m_A^2 = \frac{2\text{Re}(m_3^2 e^{i\theta})}{\sin(2\beta)}, \quad m_{H^\pm}^2 = m_A^2 + m_W^2$$

▷ CP -even Higgsの mass^2 matrix:

$$\mathcal{M}_S^2 = \begin{pmatrix} m_A^2 \sin^2 \beta + m_Z^2 \cos^2 \beta & -(m_A^2 + m_Z^2) \sin \beta \cos \beta \\ -(m_A^2 + m_Z^2) \sin \beta \cos \beta & m_A^2 \cos^2 \beta + m_Z^2 \sin^2 \beta \end{pmatrix}$$

$$\longrightarrow m_{H_1} \leq \min \{m_Z, m_A\}, \quad m_{H_2} \geq \max \{m_Z, m_A\}$$

$m_A \rightarrow \infty$ (i.e., $m_{H^\pm} \rightarrow \infty$) \implies MSSM \rightarrow SM with a light Higgs ($\lambda \sim$ gauge coupl.²)

one-loop補正 — quark, squark, gauge boson, ... の loop 効果

$$V_{\text{eff}} = V_0 + \frac{N_C}{32\pi^2} \sum_{q=t,b} \left[\sum_{j=1,2} (\bar{m}_{\tilde{q}_j}^2)^2 \left(\log \frac{\bar{m}_{\tilde{q}_j}^2}{M^2} - \frac{3}{2} \right) - 2 (\bar{m}_q^2)^2 \left(\log \frac{\bar{m}_q^2}{M^2} - \frac{3}{2} \right) \right] + \dots$$

\bar{m}^2 : mass² in the background of $(v_d, v_u e^{i\theta})$

e.g. $m_t^2 = y_t^2 v_u^2 / 2$, $m_{\tilde{t}_j}^2$ は次の行列の固有値:

$$\mathcal{M}_{\tilde{t}}^2 = \begin{pmatrix} m_{\tilde{t}_L}^2 + \bar{m}_t^2 + \left(\frac{g_2^2}{8} - \frac{g_1^2}{24} \right) (v_d^2 - v_u^2) & -y_t(\mu v_d - A_t^* e^{-i\theta} v_u) / \sqrt{2} \\ -y_t(\mu^* v_d - A_t e^{i\theta} v_u) / \sqrt{2} & m_{\tilde{t}_R}^2 + \bar{m}_t^2 + \frac{g_1^2}{6} (v_d^2 - v_u^2) \end{pmatrix}$$

補正の効果

- ▷ Higgs mass に大きな補正 (top, stop loop から)
- ▷ squark sector の explicit CP violation \longrightarrow Higgs sector
 - $\theta \neq 0$ is induced [\longleftarrow global minimum of $V_{\text{eff}}(v_d, v_u, \theta)$]
 - scalar-pseudoscalar mixing

$$\mathcal{M}_H^2 = \begin{pmatrix} \mathcal{M}_S^2 & \mathcal{M}_{SP}^2 \\ (\mathcal{M}_{SP}^2)^T & \mathcal{M}_P^2 \end{pmatrix} \text{ with } \mathcal{M}_{SP}^2 \propto y_t^2 \text{Im}(\mu A_t)$$

mass eigenstates: (H_1, H_2, H_3)

$$\begin{pmatrix} h_d \\ h_u \\ a \end{pmatrix} = \mathcal{O} \begin{pmatrix} H_1 \\ H_2 \\ H_3 \end{pmatrix}, \quad \mathcal{O}^T \mathcal{M}^2 \mathcal{O} = \text{diag}(m_{H_1}^2, m_{H_2}^2, m_{H_3}^2)$$

gauge and Yukawa interactions

$$\mathcal{L}_{\text{gauge}} \sim g_2 m_W g_{VVH_i} \left(W_\mu^+ W^{-\mu} + \frac{Z_\mu Z^\mu}{2 \cos^2 \theta_W} \right) H_i + \frac{g_2}{2 \cos \theta_W} g_{ZH_i H_j} Z^\mu \left(H_i \overleftrightarrow{\partial}_\mu H_j \right)$$

$$\mathcal{L}_Y \sim -\frac{g_2 m_b}{2 m_W} \bar{b} (g_{bbH_i}^S + i \gamma_5 g_{bbH_i}^P) b H_i$$

corrections to the couplings

[SM: $g_{VVH} = 1, g_{ZHH} = 0, g_{bbH} = 1$]

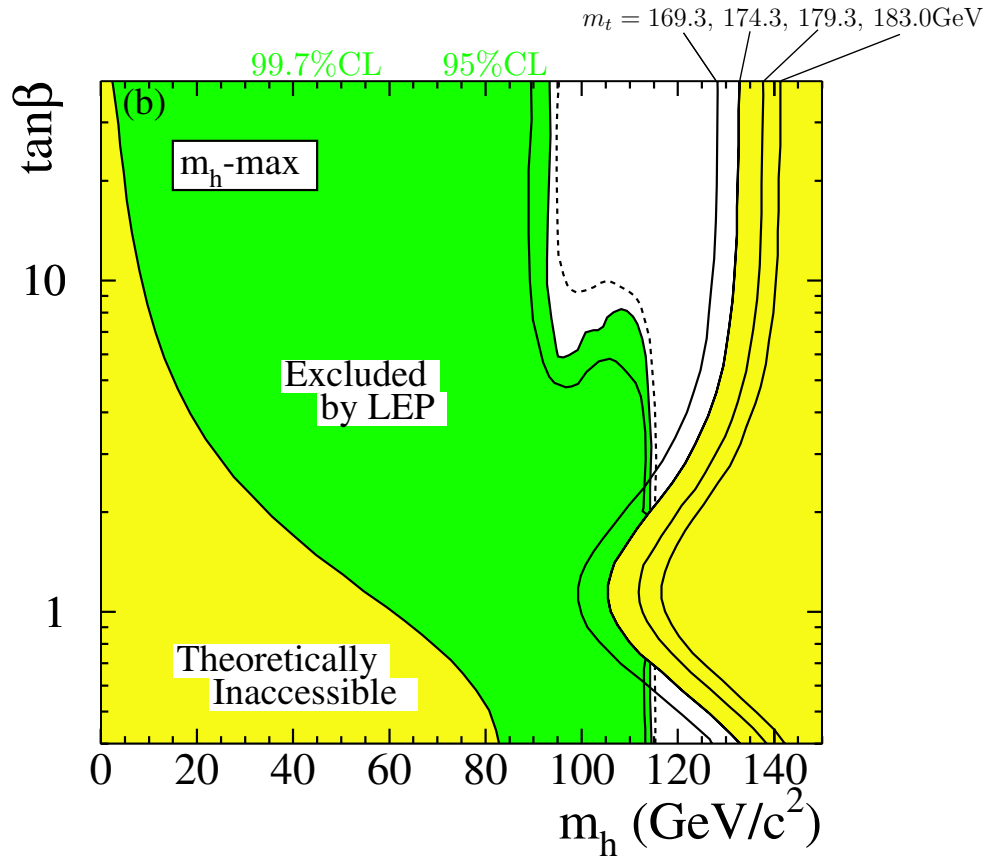
$$g_{VVH_i} = O_{1i} \cos \beta + O_{2i} \sin \beta$$

$$g_{ZH_i H_j} = \frac{1}{2} [(O_{3i} O_{1j} - O_{3j} O_{1i}) \sin \beta + (O_{3i} O_{2j} - O_{3j} O_{2i}) \cos \beta]$$

$$g_{bbH_i}^S = O_{1i} \frac{1}{\cos \beta}, \quad g_{bbH_i}^P = -O_{3i} \tan \beta, \quad g_{bbH_i}^2 = (g_{bbH_i}^S)^2 + (g_{bbH_i}^P)^2$$

- bound in the CP conserving MSSM

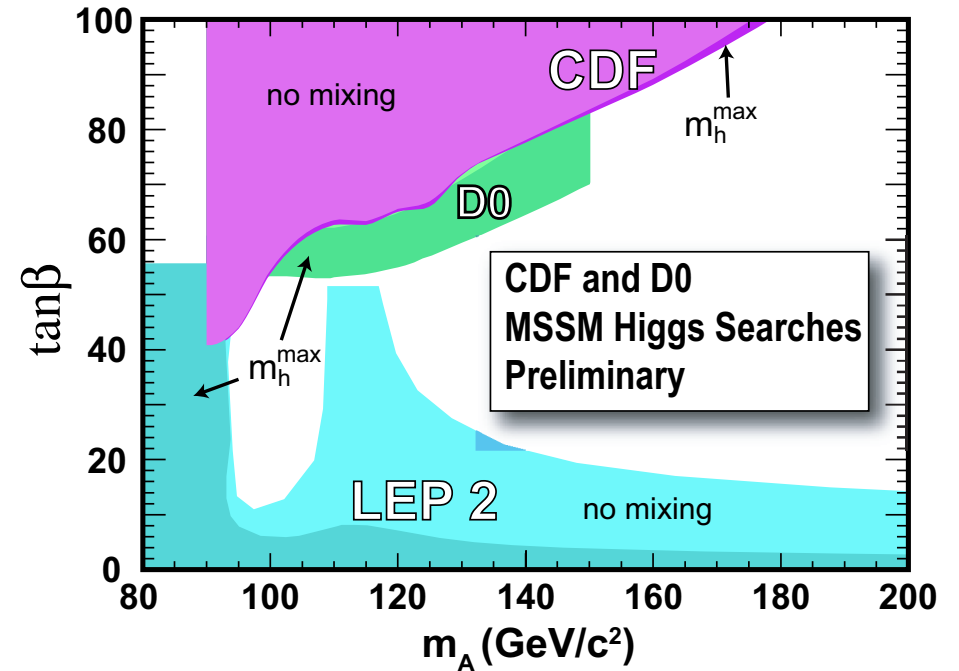
allowed region for the lightest neutral Higgs boson



m_h -max benchmark scenario

[PDG: W.-M. Yao et al., Journal of Physics G 33, 1 (2006)]

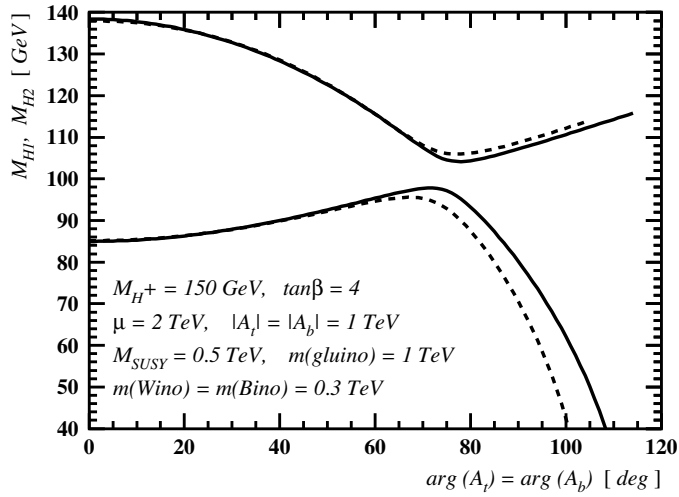
allowed region for the pseudoscalar Higgs boson



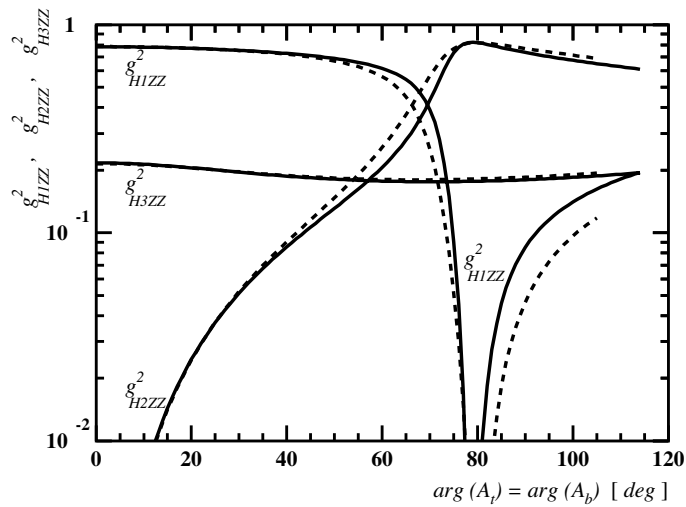
- Large CP violation and light Higgs

[Carena, et al., Nucl. Phys. B586]

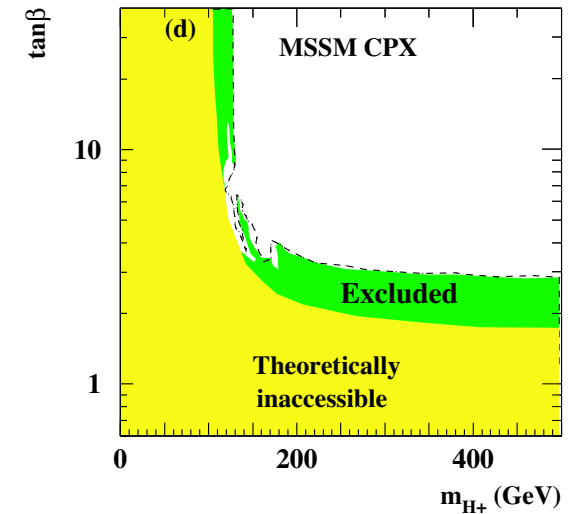
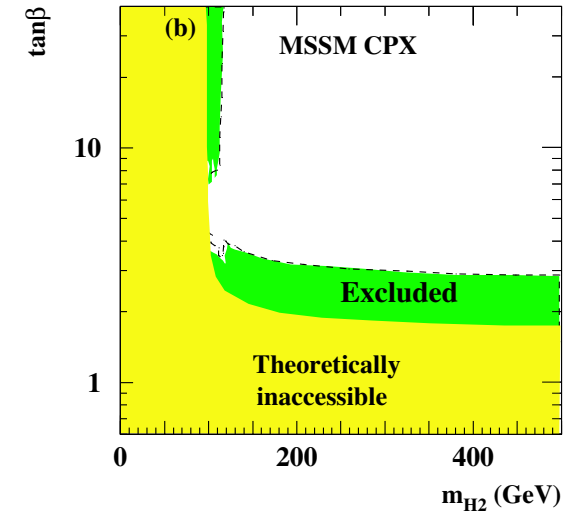
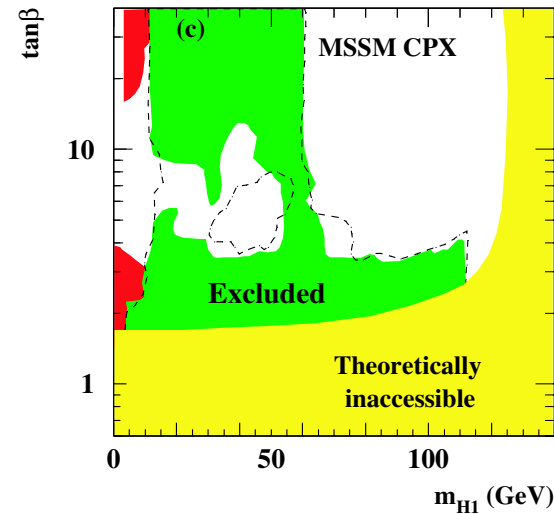
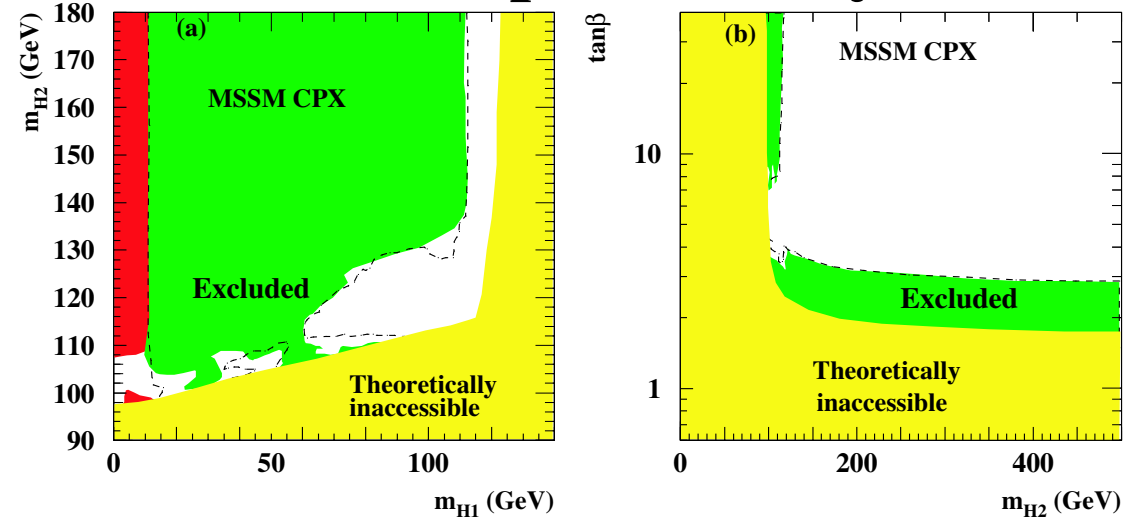
OPAL preliminary



(a)



(b)



OPAL PN524 (July, 2003) CPX scenario

★ NMSSM

superpotential

$$W = \epsilon_{ij} (y_b H_d^i Q^j B - y_t H_u^i Q^j T + y_l H_d^i L^j E - \lambda N H_d^i H_u^j) - \frac{\kappa}{3} N^3$$

$\lambda \langle N \rangle \sim \mu$ in the MSSM

order parameters: $\langle \Phi_d \rangle = \frac{1}{\sqrt{2}} \begin{pmatrix} v_d \\ 0 \end{pmatrix}, \quad \langle \Phi_u \rangle = \frac{e^{i\theta}}{\sqrt{2}} \begin{pmatrix} 0 \\ v_u \end{pmatrix}, \quad \langle n \rangle = \frac{e^{i\varphi}}{\sqrt{2}} v_n$

tree-level Higgs potential:

$$\begin{aligned} V_0 = & m_1^2 \Phi_d^\dagger \Phi_d + m_2^2 \Phi_u^\dagger \Phi_u + m_N^2 n^* n - \left(\lambda A_\lambda \epsilon_{ij} n \Phi_d^i \Phi_u^j + \frac{\kappa}{3} A_\kappa n^3 + \text{h.c.} \right) \\ & + \frac{g_2^2 + g_1^2}{8} \left(\Phi_d^\dagger \Phi_d - \Phi_u^\dagger \Phi_u \right)^2 + \frac{g_2^2}{2} \left| \Phi_d^\dagger \Phi_u \right|^2 \\ & + |\lambda|^2 n^* n \left(\Phi_d^\dagger \Phi_d + \Phi_u^\dagger \Phi_u \right) + \left| \lambda \epsilon_{ij} \Phi_d^i \Phi_u^j + \kappa n^2 \right|^2 \end{aligned}$$

1. $v_n \rightarrow \infty$ with λv_n ($\sim \mu$) and κv_n fixed \implies MSSM

[Ellis, et al, PRD 39]

$\longrightarrow v_n = O(100)\text{GeV}$ の場合は新しいことが期待できる

2. 5 neutral and 1 charged scalars (3 scalar and 2 pseudoscalar when CP cons.)

3つの CP -even boson の混合により $g_{VVH_1}^2$ が小さくなり、 $m_{H_1} \geq 114\text{GeV}$ の制限から逃れられる。

[Miller, et al. NPB 681]

— Light Higgs Scenario —

$$\mathcal{M}_S^2 = \begin{pmatrix} \left(R_\lambda - \frac{\mathcal{R}v_n}{2}\right) v_n \tan \beta + m_Z^2 \cos^2 \beta & -\left(R_\lambda - \frac{\mathcal{R}v_n}{2}\right) v_n - m_Z^2 \sin \beta \cos \beta + |\lambda|^2 v_d v_u & -R_\lambda v_u + \mathcal{R}v_u v_n + |\lambda|^2 v_d v_n \\ \dots & \left(R_\lambda - \frac{\mathcal{R}v_n}{2}\right) v_n \cot \beta + m_Z^2 \sin^2 \beta & -R_\lambda v_d + \mathcal{R}v_d v_n + |\lambda|^2 v_u v_n \\ \dots & \dots & R_\lambda \frac{v_d v_u}{v_n} + 3R_\kappa v_n + 2|\kappa|^2 v_n^2 \end{pmatrix}$$

ここで、 $R_\lambda = \frac{1}{\sqrt{2}} \text{Re} \left(\lambda A_\lambda e^{i(\theta_0 + \varphi_0)} \right)$, $R_\kappa = \frac{1}{\sqrt{2}} \text{Re} \left(\kappa A_\kappa e^{3i\varphi_0} \right)$, $\mathcal{R} = \text{Re} \left(\lambda \kappa^* e^{i(\theta_0 - 2\varphi_0)} \right)$

3. CP violation at the tree level: $\text{Im} \left(\lambda A_\lambda e^{i(\theta + \varphi)} \right)$, $\text{Im} \left(\kappa A_\kappa e^{3i\varphi} \right)$, $\text{Im} \left(\lambda \kappa^* e^{i(\theta - 2\varphi)} \right)$

★ MSSM vs NMSSM

tree-level mass relation (CP-conserving)

$m_{H_1} \leq \min\{m_A, m_Z\}$ $m_{H_2} \geq \max\{m_A, m_Z\}$ $m_{H^\pm}^2 = m_A^2 + m_W^2$	$m_{A_1} < \hat{m} < m_{A_2}$ $\hat{m} \gg v_0, v_n \text{ のとき, } m_{S_1} < m_{S_2} < \hat{m} < m_{S_3}$ $\hat{m}^2 = m_{H^\pm}^2 - m_W^2 + \lambda ^2 v_0^2/2$
---	--

tree-level vacuum

<p>tadpole 条件 $\left\langle \frac{\partial V_0}{\partial \varphi_i} \right\rangle = 0$ さえ課せば EW vacuum (v_{0d}, v_{0u}) が potential の global minimum になっている</p>	<p>tadpole condition が満たされていても (v_{0d}, v_{0u}, v_{0n}) は必ずしも global minimum で はない</p>
---	--

NMSSM は MSSM よりパラメータは多いが、constraint も多い

$$\lambda, \kappa, A_\lambda, A_\kappa, m_N^2$$

Constraints on the parameters

soft mass: m_1^2, m_2^2, m_N^2 ← tadpole conditions: $\left\langle \frac{\partial V_{\text{eff}}}{\partial h_{d,u,n}} \right\rangle = 0$ により、
 $(v_0, v_{n0}, \tan \beta)$ で決める

$R_\lambda = \text{Re}(\lambda A_\lambda e^{i(\theta+\varphi)})$ ← m_{H^\pm} から決める

即ち、 $v_0 = 246\text{GeV}$ に固定。 $(v_{n0}, \tan \beta, m_{H^\pm})$ を input

残りの $\lambda, \kappa, A_\kappa$ と loop 補正で関係する squark sector の soft mass, A -term を free にして、次の 2 条件を課す：

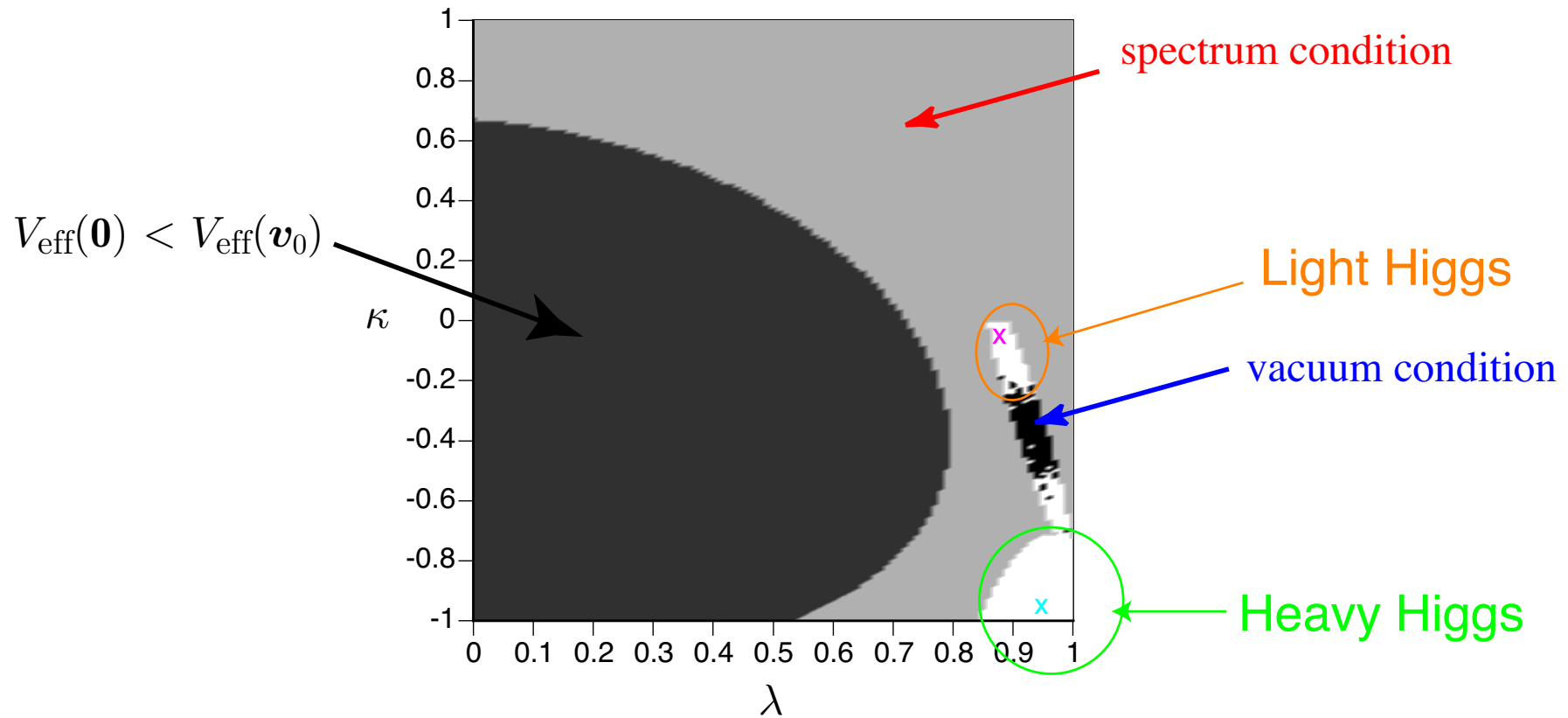
1. vacuum condition

指定した $(v_0, v_{0n}, \tan \beta_0)$ が V_{eff} の global minimum であること。

2. spectrum condition

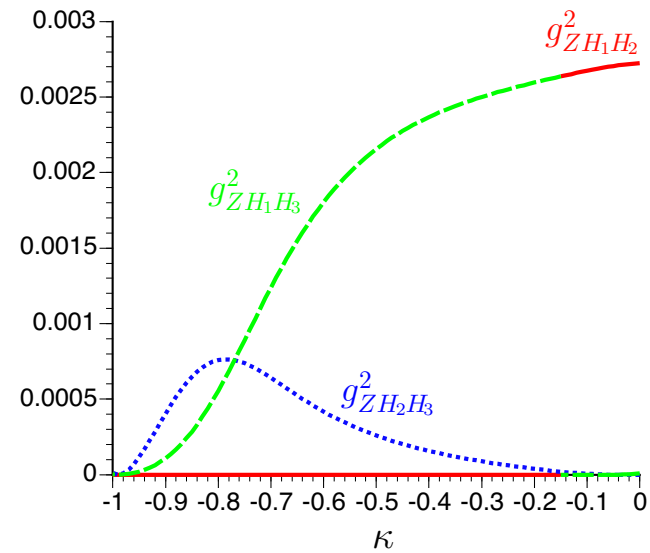
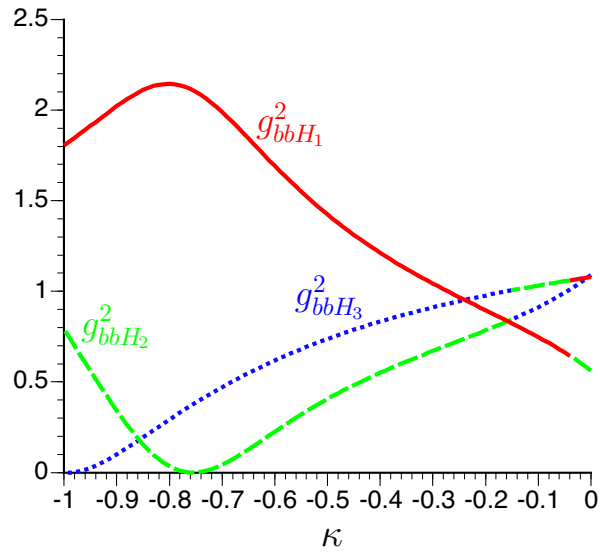
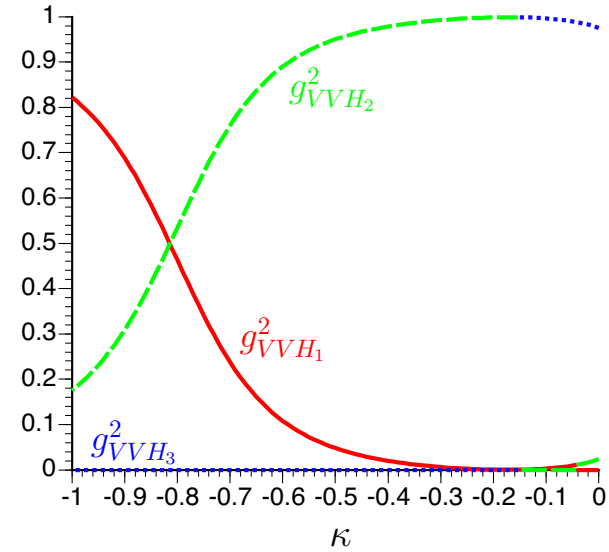
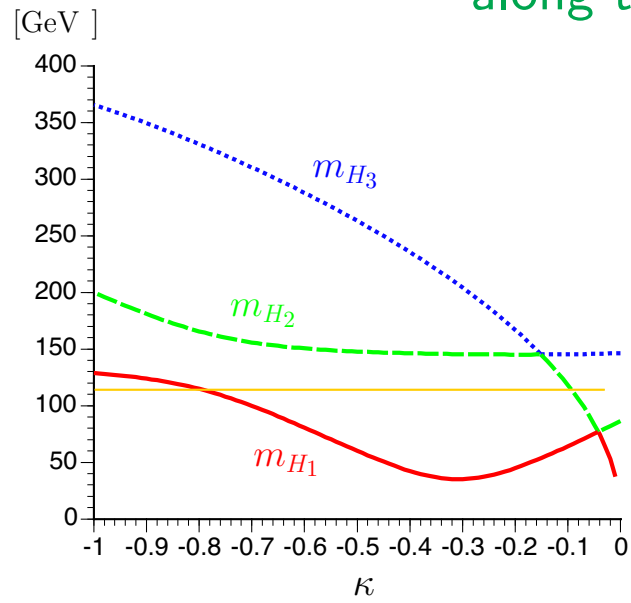
weak gauge boson との結合が大きい ($|g_{VVH}| > 0.1$) Higgs 質量固有状態は 114GeV より重いこと。

e.g., $\tan \beta_0 = 3$, $v_{0n} = 200\text{GeV}$, $m_{H^\pm} = 400\text{GeV}$, $A_\kappa = -200\text{GeV}$, heavy squark



λ	κ	m_{H_1}	m_{H_2}	m_{H_3}	m_{H_4}	m_{H_5}	$g_{VVH_1}^2$	$g_{VVH_2}^2$	$g_{VVH_3}^2$	$g_{VVH_4}^2$	$g_{VVH_5}^2$
0.9	-0.05	75.0	83.5	145.7	436.0	448.2	0.0094	0	0.9897	0.0009	0
0.95	-0.95	139.6	180.9	360.3	425.4	456.4	0.828	0.170	0	0	0.0028

along the line of $\lambda = 0.9$



実際にすること:

次のパラメータ領域をスキャンする

$$\tan \beta_0 = 2 - 30, \quad v_{0n} = 100 - 1000\text{GeV}, \quad m_{H^\pm} = 100 - 5000\text{GeV}, \\ -1000\text{GeV} \leq A_\kappa \leq 0, \quad 0 \leq \lambda \leq 1, \quad -1 \leq \kappa \leq 1$$

squark sector については次の3つのセットに固定

$$(m_{\tilde{q}_L}, m_{\tilde{t}_R} = m_{\tilde{b}_R}) = \begin{cases} (1000\text{GeV}, 800\text{GeV}) & \text{heavy-squark} \\ (1000\text{GeV}, 10\text{GeV}) & \text{light-squark-1} \\ (500\text{GeV}, 10\text{GeV}) & \text{light-squark-2} \end{cases} \\ A_t = A_b = 20\text{GeV}$$



Light Higgs Scenario が可能なパラメータ・セットをマークし、
代表点について有限温度での振る舞いを調べる

[KF and Tao, Prog. Theor. Phys. 113 ('05)]

§5 Phase Transitions in the MSSM and NMSSM

★ **MSSM** order parameter: v_d, v_u (CP が破れるなら θ も)

→ 2(3)次元空間での $V_{\text{eff}}(\mathbf{v}; T)$ の最小値問題 at each T

$$V_{\text{eff}}(\mathbf{v}; T) = V_{\text{eff}}(\mathbf{v}; T = 0) + 6 \sum_{q=t,b} \sum_{j=1,2} \frac{T^4}{2\pi^2} I_B \left(\frac{\bar{m}_{\tilde{q}_j}}{T} \right) + \dots,$$

where $m_{\tilde{t}_j}^2$ is the eigenvalues of

$$\mathcal{M}_{\tilde{t}}^2 = \begin{pmatrix} m_{\tilde{t}_L}^2 + \left(\frac{g_1^2}{24} - \frac{g_2^2}{8} \right) (v_u^2 - v_d^2) + \frac{y_t^2}{2} v_u^2 & \frac{y_t}{\sqrt{2}} (\mu v_d + A(v_u e^{-i\theta})) \\ * & m_{\tilde{t}_R}^2 - \frac{g_1^2}{6} (v_u^2 - v_d^2) + \frac{y_t^2}{2} v_u^2 \end{pmatrix}$$

light stop scenario

[de Carlos & Espinosa, NPB '97]

$m_{\tilde{t}_L}^2 = 0$ or $m_{\tilde{t}_R}^2 = 0 \implies$ smaller eigenvalue: $m_{\tilde{t}_1}^2 \sim O(v^2)$

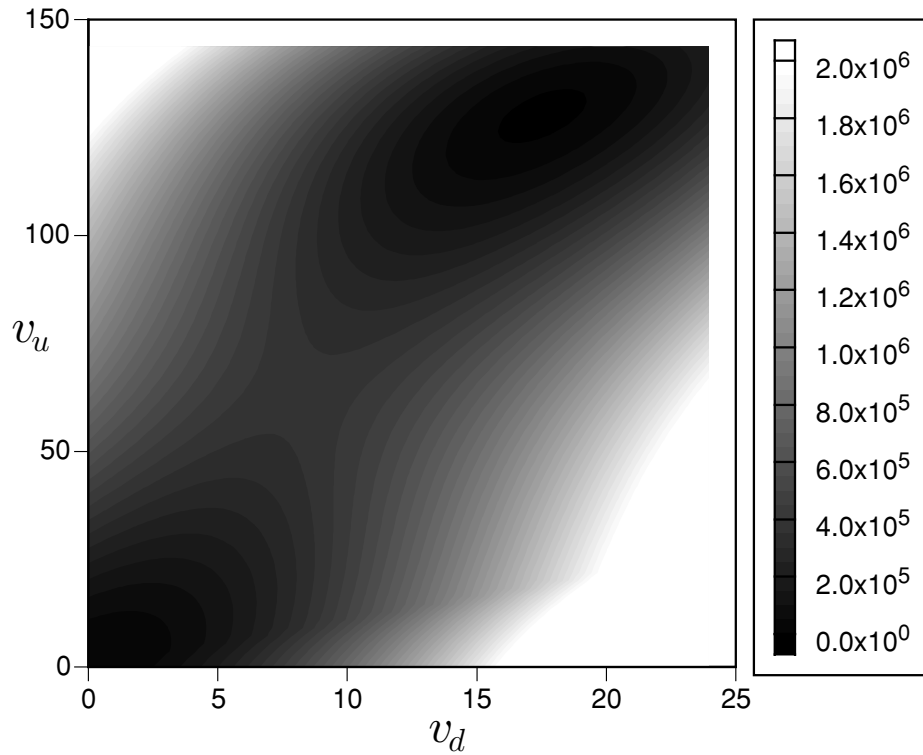
∴ high- T expansion: $\Delta_{\tilde{t}} V_{\text{eff}}(\mathbf{v}; T) \implies -3 \frac{T}{6\pi} (m_{\tilde{t}_1}^2)^{3/2} \sim -T v^3 \rightarrow$ 1st order PT

more effective for larger y_t — smaller $\tan \beta$

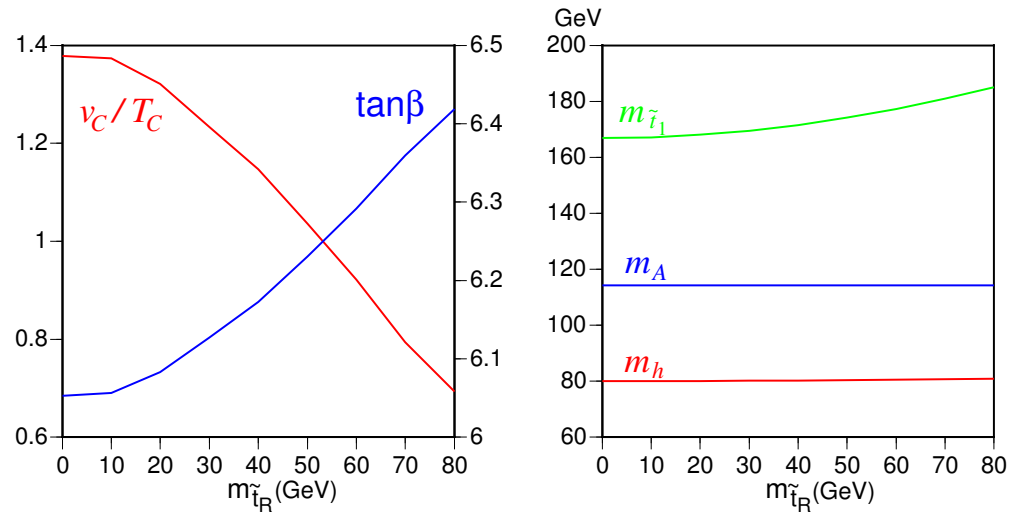
An example: $\tan \beta = 6$, $m_h = 82.3\text{GeV}$, $m_A = 118\text{GeV}$, $m_{\tilde{t}_1} = 168\text{GeV} < m_t$

$$T_C = 93.4\text{GeV}, v_C = 129\text{GeV}$$

[KF, PTP101('99)]



$$V_{\text{eff}}(v_d, v_u, \theta = 0; T_C)$$



$m_{\tilde{t}_R}$ -dependence ($\tan \beta = 6$)

Lattice MC studies

- 3d reduced model

[Laine et al. hep-lat/9809045]

strong 1st order for $m_{\tilde{t}_1} \lesssim m_t$ and $m_h \leq 110\text{GeV}$

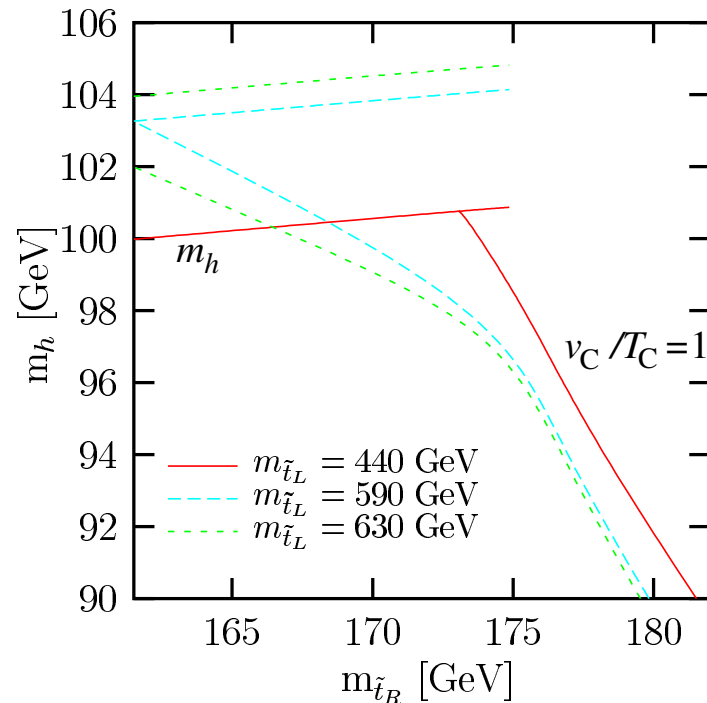
- 4d model

[Csikor, et al. hep-lat/0001087]

with $SU(3)$, $SU(2)$ gauge bosons, 2 Higgs doublets, stops, sbottoms

$A_{t,b} = 0$, $\tan \beta \simeq 6$

→ agreement with the perturbation theory within the errors



$m_A = 500\text{ GeV}$

$v_C/T_C > 1$

below the steeper lines



max. $m_h = 103 \pm 4\text{ GeV}$

for $m_{\tilde{t}_L} \simeq 560\text{ GeV}$

★ NMSSM

order parameter: v_d, v_u, v_n (CP が破れるなら θ, φ も)

→ 3(5)次元空間での $V_{\text{eff}}(\mathbf{v}; T)$ の最小値問題 at each T

naive な議論

[Pietroni, NPB402 ('93)]

tree-level で v^3 項が存在: $V_0 \ni - \left(\lambda A_\lambda \epsilon_{ij} n \Phi_d^i \Phi_u^j + \frac{\kappa}{3} A_\kappa n^3 + \text{h.c.} \right)$

$$\text{order parameters : } \begin{cases} v_d = v \cos \beta(T) = y \cos \alpha(T) \cos \beta(T), \\ v_u = v \sin \beta(T) = y \cos \alpha(T) \sin \beta(T), \\ v_n = y \sin \alpha(T) \end{cases}$$

$$V_0 = \frac{1}{2} \left((m_1^2 \cos^2 \beta + m_2^2 \sin^2 \beta) \cos^2 \alpha + m_N^2 \sin^2 \alpha \right) y^2 - \left(R_\lambda \cos^2 \alpha \sin \alpha \cos \beta \sin \beta + \frac{1}{3} R_\kappa \sin^3 \alpha \right) y^3 + \dots$$

→ 強い一次転移 ?

1 変数 y による parametrization は出来ない！ doublet \leftrightarrow single の特別な対称性は無い

一般に相転移の次数は $\left\{ \begin{array}{l} \text{空間の次元} \\ \text{内部対称性} \end{array} \right\}$ に依る。(universality class)

可能な相と相転移

phase	order parameters	symmetries
EW	$v \neq 0, v_n \neq 0$	fully broken
I, I'	$v = 0, v_n \neq 0$	local $SU(2)_L \times U(1)_Y$
II	$v \neq 0, v_n = 0$	global $U(1)$
SYM	$v = v_n = 0$	$SU(2)_L \times U(1)_Y$, global $U(1)$

global $U(1)$: $v_u e^{i\theta} = v_2 + iv_3 \mapsto e^{i\alpha}(v_2 + iv_3)$ in the subspace of $v_n = 0$

phase-I : heavy Higgs phase-I' : light Higgs

4つの型の相転移

A: SYM \rightarrow I \Rightarrow EW

B: SYM \rightarrow I' \Rightarrow EW

C: SYM \Rightarrow II \rightarrow EW

D: SYM \Rightarrow EW

examples of the phase transitions in the CP-conserving case

common parameters: $\tan \beta_0 = 5$, $v_{0n} = 200\text{GeV}$, $A_\kappa = -100\text{GeV}$

A	$m_{H^\pm} = 600\text{GeV}$	$(\lambda, \kappa) = (0.9, -0.9)$	light-squark-1
B	$m_{H^\pm} = 600\text{GeV}$	$(\lambda, \kappa) = (0.85, -0.1)$	heavy-squark
C	$m_{H^\pm} = 600\text{GeV}$	$(\lambda, \kappa) = (0.82, -0.05)$	light-squark-1
D	$m_{H^\pm} = 700\text{GeV}$	$(\lambda, \kappa) = (0.96, -0.02)$	light-squark-2

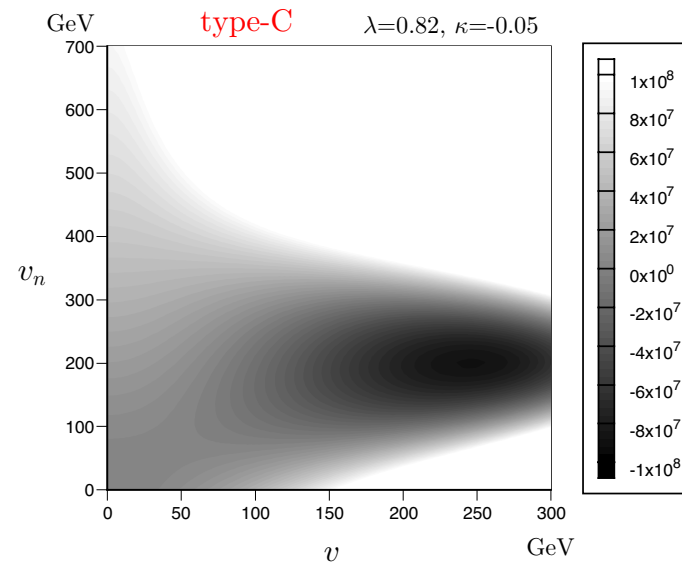
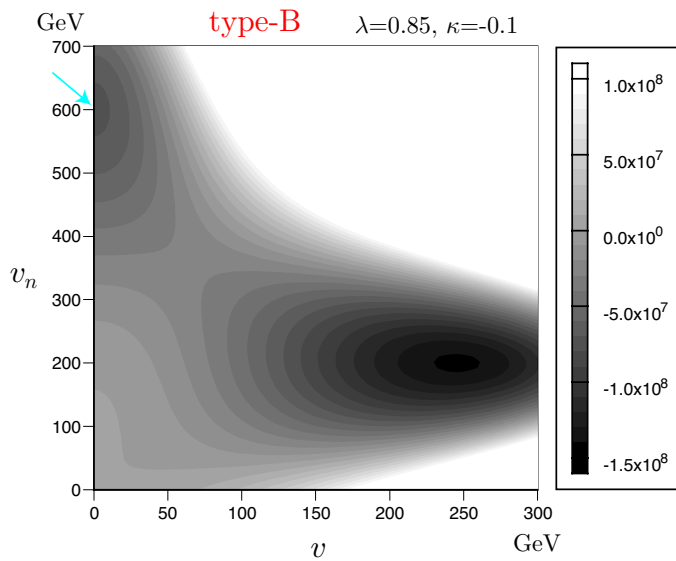
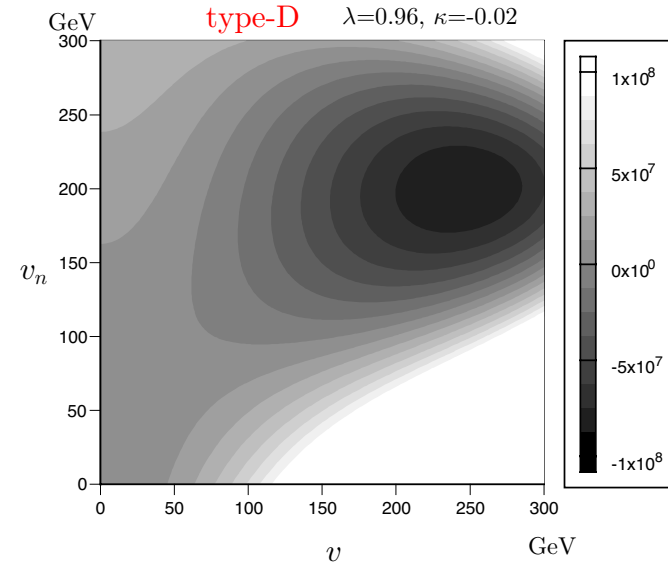
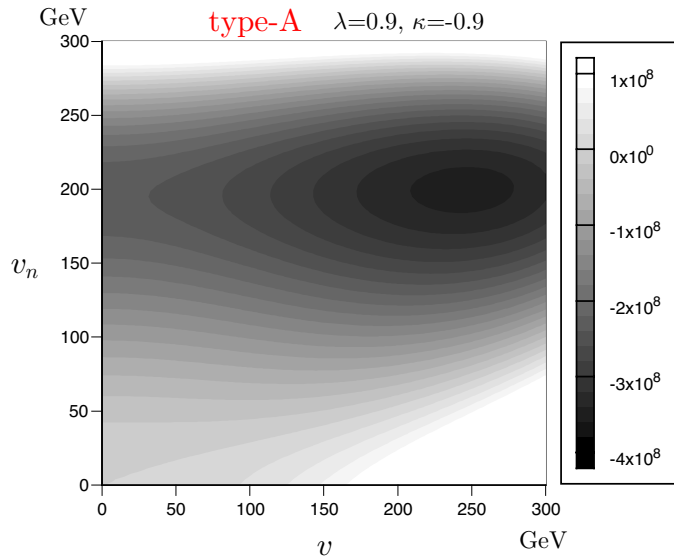
Higgs spectrum and VVH -couplings

		H_1	H_2	H_3	H_4	H_5
A	$m_{H_i}(\text{GeV})$	119.53	203.59	265.74	617.24	637.47
	$g_{VVH_i}^2$	0.9992	5.926×10^{-4}	0	0	1.884×10^{-4}
B	$m_{H_i}(\text{GeV})$	38.89	75.31	131.11	625.61	627.95
	$g_{VVH_i}^2$	6.213×10^{-8}	0	0.9999	6.816×10^{-5}	0
C	$m_{H_i}(\text{GeV})$	42.24	63.49	117.25	625.09	627.44
	$g_{VVH_i}^2$	0.00188	0	0.9980	9.541×10^{-5}	0
D	$m_{H_i}(\text{GeV})$	41.88	58.62.08	115.15	730.51	734.58
	$g_{VVH_i}^2$	0	1.015×10^{-4}	0.9997	1.632×10^{-4}	0

A: heavy Higgs (MSSM-like), B, C, D: light Higgs

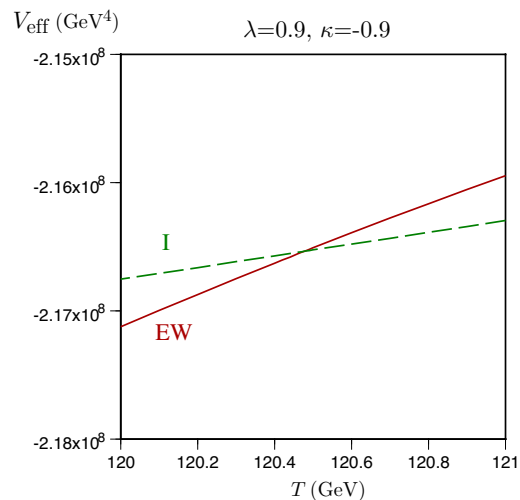
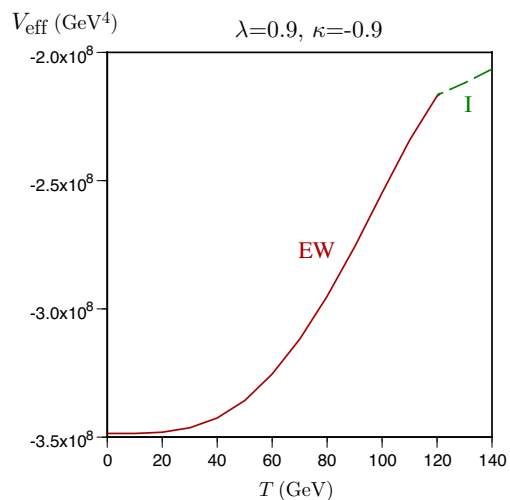
reduced effective potential (doublet-singlet 平面での V_{eff})

$$\tilde{V}_{\text{eff}}(v, v_n; T) = V_{\text{eff}}(v \cos \beta(T), v \sin \beta(T), 0, v_n, 0; T) - V_{\text{eff}}(0, 0, 0, 0, 0; T)$$



★ Phase transitionの進み方 — 各local min. の V_{eff}

type-A

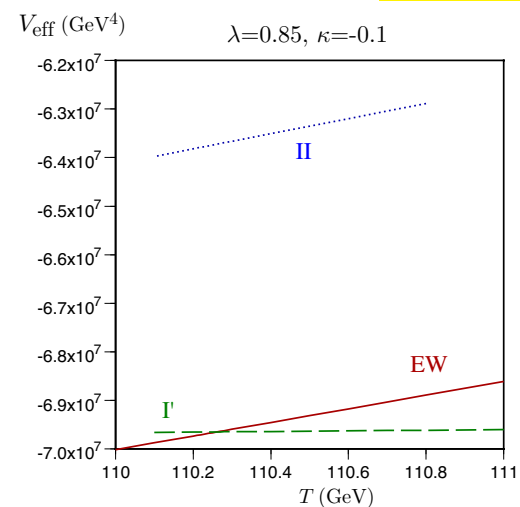
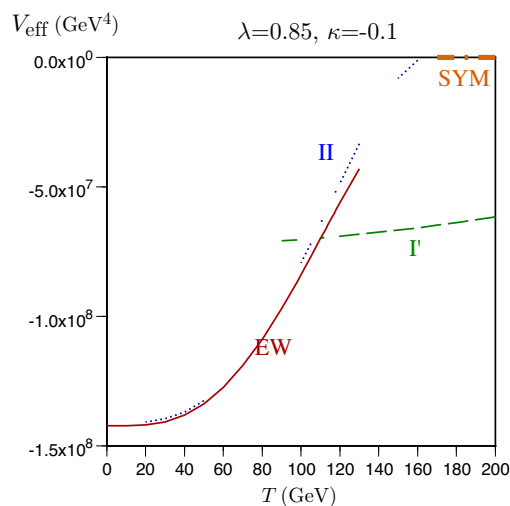


$$(v, v_n) = (106.92, 194.23)(\text{GeV})$$

$$\downarrow T_C = 120.47\text{GeV}$$

$$(0, 192.75)(\text{GeV})$$

type-B

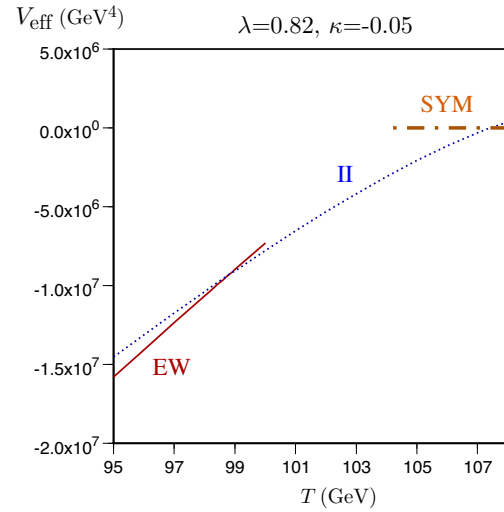
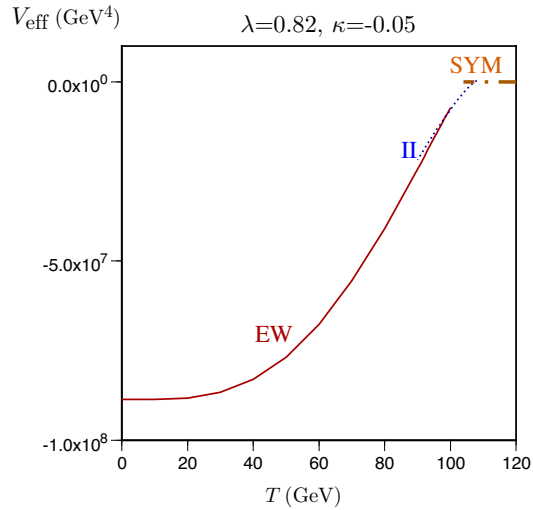


$$(v, v_n) = (208.13, 248.85)(\text{GeV})$$

$$\downarrow T_C = 110.26\text{GeV}$$

$$(0, 599.93)(\text{GeV})$$

type-C



$$(v, v_n) = (194.27, 173.75)(\text{GeV})$$

$$\downarrow T_N = 98.76\text{GeV}$$

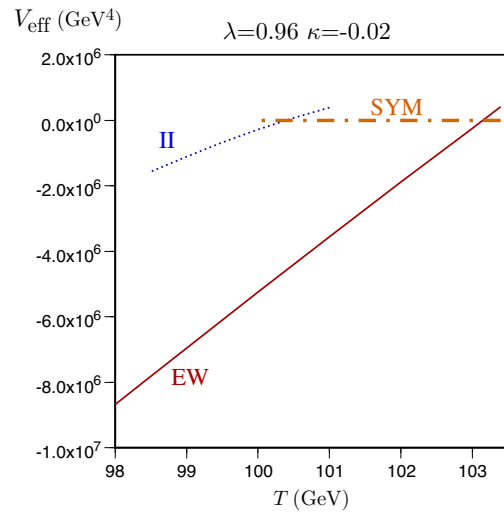
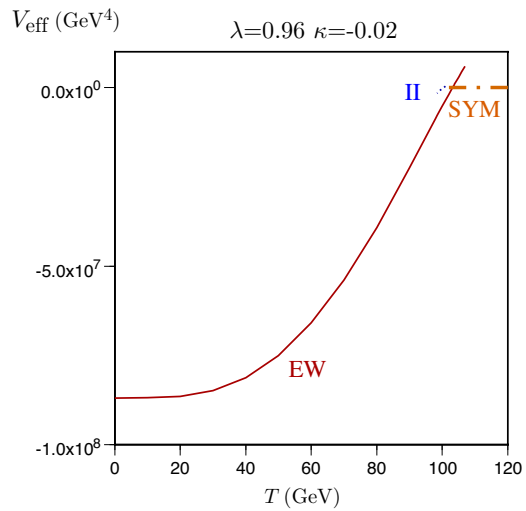
$$(165.97, 0)(\text{GeV})$$

$$(109.54, 0)(\text{GeV})$$

$$\downarrow T_C = 107.44\text{GeV}$$

$$(0, 0)$$

type-D



$$(v, v_n) = (182.49, 192.26)(\text{GeV})$$

$$\downarrow T_C = 103.14\text{GeV}$$

$$(0, 0)$$

type-A MSSM-like EWPT — proceeds along almost constant $v_n \neq 0$

a light stop is needed for it to be strongly first order

type-B new type of 2-stage PT

leap from $(v(T_{C-}), v_n(T_{C-}))$ to $(0, v_n(T_{C+}))$

strongly first order EWPT (no light stop is needed)

type-C new type of 2-stage PT

EWPT proceeds along $v_n = 0$

a light stop is needed for it to be strongly first order

type-D 1-stage PT (so far mainly considered in the NMSSM)

a light stop is needed for the EWPT to be strongly first order

type-B,C,D — light-Higgs scenario — NMSSM 特有の相転移

§6 Summary

EW Baryogenesis

- ★ 検証可能な素粒子模型にのみ基づく
- ★ 陽子崩壊の問題がない

2つの理由で標準模型の拡張が必要

★ CP violation

new sources of CP violation EDM, precise measurements of CP-viol. BR

μ , A_q , gaugino masses, θ , ... in SUSY models

★ strongly 1st-order EWPT

extra scalars: 2HDM, MSSM, NMSSM, ...

⇒ Higgs spectrum and couplings LHC, ILC, ...

Higgs spectrum と電弱相転移 (EWPT) の関係

- $m_H > 120\text{GeV} \implies$ 1st-order EWPT in the MSSM **X**
- $m_H > 135\text{GeV} \implies$ MSSM **X**
NMSSM (light Higgs for 1st-order EWPT)
2HDM, etc.

NMSSM での相転移

- 4つの相 EW, SYM, I(I',) II
- 4つの型の相転移, 3つは2段階型
heavy Higgs \implies MSSM-like EWPT
light Higgs \implies strongly 1st order EWTP

NMSSM in the **light Higgs** scenario with heavy charged Higgs ($m_{H^\pm} > 300\text{GeV}$)

$$m_{H_1} < m_{H_2} < 114\text{GeV} < m_{H_3} < m_{H^\pm} < m_{H_4} < m_{H_5}$$

$$g_{VVH_1}^2, g_{VVH_2}^2 \ll 1$$

\simeq Minimal SM with **1st order EWPT** (type-B), **extra CP violation**

Minimal SM と区別できない？

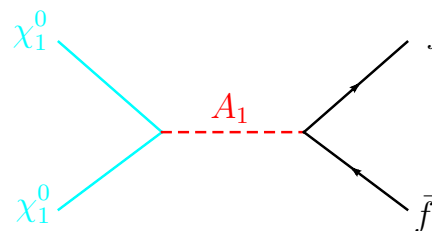
— Yukawa 結合に現れる mixing を測る ← Higgs decay の分岐比

もし LHC (will start at Dec. 07, 14TeV) **で**

$\left\{ \begin{array}{l} \text{SUSY particle} \\ \text{Higgs boson } (m_H > 135\text{GeV}) \end{array} \right\}$ が見つければ、**NMSSM** が有望

★ **Light-Higgs scenario** での **Dark Matter**

light neutralino CDM が可能



[Gunion, Hooper and McElrath, Phys. Rev. D73 ('06)]